

量子計算入門

量子力学の復習

波動関数・量子状態

- 電子のような量子的な物理系の状態は**波動関数** $\psi(x)$ で表される。
- 波動関数の物理的な意味：位置 x に電子が存在する確率密度が $|\psi(x)|^2$ 。
- 波動関数は**規格化条件** $\int |\psi(x)|^2 dx = 1$ を必ず満たす。
- 波動関数は適当な正規直交基底関数 $\phi_k(x)$ によって以下のように展開できる。

$$\psi(x) = \sum_k c_k \phi_k(x)$$

規格化条件は $\sum_k |c_k|^2 = 1$ に
翻訳される。

- 例：ある位置 y にだけ電子が存在する状態 $\delta(x - y)$ によって展開する。

$$\psi(x) = \int dy \psi(y) \delta(x - y)$$

- 係数 c_k を並べたベクトルは $\psi(x)$ と同一視できて、 $\psi(x)$ は関数空間でのベクトルとみなせる。
このベクトルを $|\psi\rangle$ と書く。(読み方：ケット/ブラ)

$$|\psi\rangle = \begin{pmatrix} c_1 \\ c_2 \\ \vdots \end{pmatrix} \quad \times \phi_k \text{ を基底とする場合}$$

ケットベクトル/ブラベクトル

- $|\psi\rangle$ の双対ベクトル (複素共役転置) を $\langle\psi|$ と書く。(読み方: ブラプサイ/プサイブラ)

$$|\psi\rangle = \begin{pmatrix} c_1 \\ c_2 \\ \vdots \end{pmatrix} \Leftrightarrow \langle\psi| = (c_1^* \quad c_2^* \quad \cdots)$$

- $|a\rangle = \begin{pmatrix} a_1 \\ a_2 \\ \vdots \end{pmatrix}$ と $|b\rangle = \begin{pmatrix} b_1 \\ b_2 \\ \vdots \end{pmatrix}$ の内積は $\langle a|b\rangle$ と書く。

$$\langle a|b\rangle = (a_1^* \quad a_2^* \quad \cdots) \begin{pmatrix} b_1 \\ b_2 \\ \vdots \end{pmatrix}$$

- $|a\rangle\langle b|$ は演算子 (行列) になる。

$$|a\rangle\langle b| = \begin{pmatrix} b_1 \\ b_2 \\ \vdots \end{pmatrix} (a_1^* \quad a_2^* \quad \cdots) = \begin{pmatrix} b_1 a_1^* & b_1 a_2^* & \cdots \\ b_2 a_1^* & b_2 a_2^* & \cdots \\ \vdots & \vdots & \ddots \end{pmatrix}$$

物理量の測定

- 量子系に対して物理量の観測を行うと、 $|\psi\rangle$ とその物理量に対応する演算子 A によって決まる確率分布から **ランダムに結果が得られる**。
- 観測結果は必ず A の固有値 a_i のどれかになる。
- a_i が得られる確率 p_i は、対応する固有ベクトル $|a_i\rangle$ を使って以下のように計算される。

$$p_i = |\langle a_i | \psi \rangle|^2$$

Remark: $|\psi\rangle$ を $e^{i\theta}|\psi\rangle$ (**グローバル位相**を付加) としても物理量の観測には影響しない。

- 物理量 A の期待値 $\langle A \rangle$ は、普通の確率論と同じように定義される。

$$\langle A \rangle = \sum_i a_i p_i$$

演習 (レポート) : $|\psi\rangle$ に対する物理量 A の期待値 $\langle A \rangle$ が $\langle A \rangle = \langle \psi | A | \psi \rangle$ と計算できることを示してください。

演算子について

- A の複素共役転置を A^\dagger と書く。

$$A = \begin{pmatrix} A_{11} & A_{12} & \cdots \\ A_{21} & A_{22} & \cdots \\ \vdots & \vdots & \ddots \end{pmatrix} \Leftrightarrow A^\dagger = \begin{pmatrix} A_{11}^* & A_{21}^* & \cdots \\ A_{12}^* & A_{22}^* & \cdots \\ \vdots & \vdots & \ddots \end{pmatrix}$$

- $A = A^\dagger$ を満たすとき、 A は**エルミート**であるという。

Remark: エルミート演算子の固有値は実数 → 物理量はエルミート演算子によって表現される。

- $U^\dagger = U^{-1}$ を満たすとき、 U は**ユニタリー**であるという。

Remark1: ユニタリー演算子はベクトルの大きさを変えない。 $\| |\psi\rangle \|^2 = \langle \psi | \psi \rangle$ として、

$$\| |\psi\rangle \|^2 = \| U|\psi\rangle \|^2 \quad \text{規格化条件はユニタリ変換で不変}$$

Remark2: ユニタリー演算子の固有値の大きさは 1 → 固有値は $e^{i\phi}$ の形になる。

- 演算子のブラケット表示

$$A = \sum_{ij} A_{ij} |i\rangle \langle j| = \sum_{ij} a_i |a_i\rangle \langle a_i|$$

対角化した表現

量子状態の時間発展

- (孤立)量子系の時間発展は、エネルギーに対応する演算子であるハミルトニアン H を使って、以下の**シュレディンガー方程式**によって決定される。

$$\frac{d}{dt}|\psi(t)\rangle = -iH|\psi(t)\rangle$$

- 初期状態が $|\psi(0)\rangle$ のとき、方程式の解は

$$|\psi(t)\rangle = e^{-iHt}|\psi(0)\rangle$$

$$\text{※ } e^A = I + A + \frac{1}{2}A^2 + \dots$$

- e^{-iHt} はユニタリ演算子 → (孤立) 量子系の時間発展は常にユニタリ。

H をデザインして量子状態を制御し、量子力学を計算に活用するのが量子計算

量子ビット

量子ビットとは

- 量子力学的な 2 準位系を**量子ビット**と呼ぶ。
- 代表例は $S=1/2$ のスピン。

$$\uparrow\!\!\!\bigcirc = |0\rangle \quad \downarrow\!\!\!\bigcirc = |1\rangle$$

- 量子ビットは量子力学的な重ね合わせ状態を取れる。

$$\bigcirc\!\!\!\begin{smallmatrix}\uparrow\\\downarrow\end{smallmatrix} = \alpha|0\rangle + \beta|1\rangle$$

- 数学的には2次元の複素ベクトルと等価。

$$|0\rangle = \begin{pmatrix} 1 \\ 0 \end{pmatrix} \quad |1\rangle = \begin{pmatrix} 0 \\ 1 \end{pmatrix} \quad \alpha|0\rangle + \beta|1\rangle = \begin{pmatrix} \alpha \\ \beta \end{pmatrix}$$

パウリ演算子

- 量子ビットに対する以下の3つの演算子を**パウリ演算子**と呼ぶ。

$$X = \begin{pmatrix} 0 & 1 \\ 1 & 0 \end{pmatrix} \quad Y = \begin{pmatrix} 0 & -i \\ i & 0 \end{pmatrix} \quad Z = \begin{pmatrix} 1 & 0 \\ 0 & -1 \end{pmatrix} \quad \text{※ } |0\rangle, |1\rangle \text{ 基底での行列表示}$$

- 物理的には、 $S=1/2$ のスピンの x, y, z 方向の磁気モーメントに対応する。
- パウリ演算子は**エルミートかつユニタリ**。
- 単位行列 $I = \begin{pmatrix} 1 & 0 \\ 0 & 1 \end{pmatrix}$ を含めることもある。

演習：

- (1) X, Y の固有ベクトルを計算して、 $|0\rangle, |1\rangle$ の和で表してください。
- (2) パウリ演算子が $X^2 = Y^2 = Z^2 = I$ を満たすことを示してください。

ブロッホ球

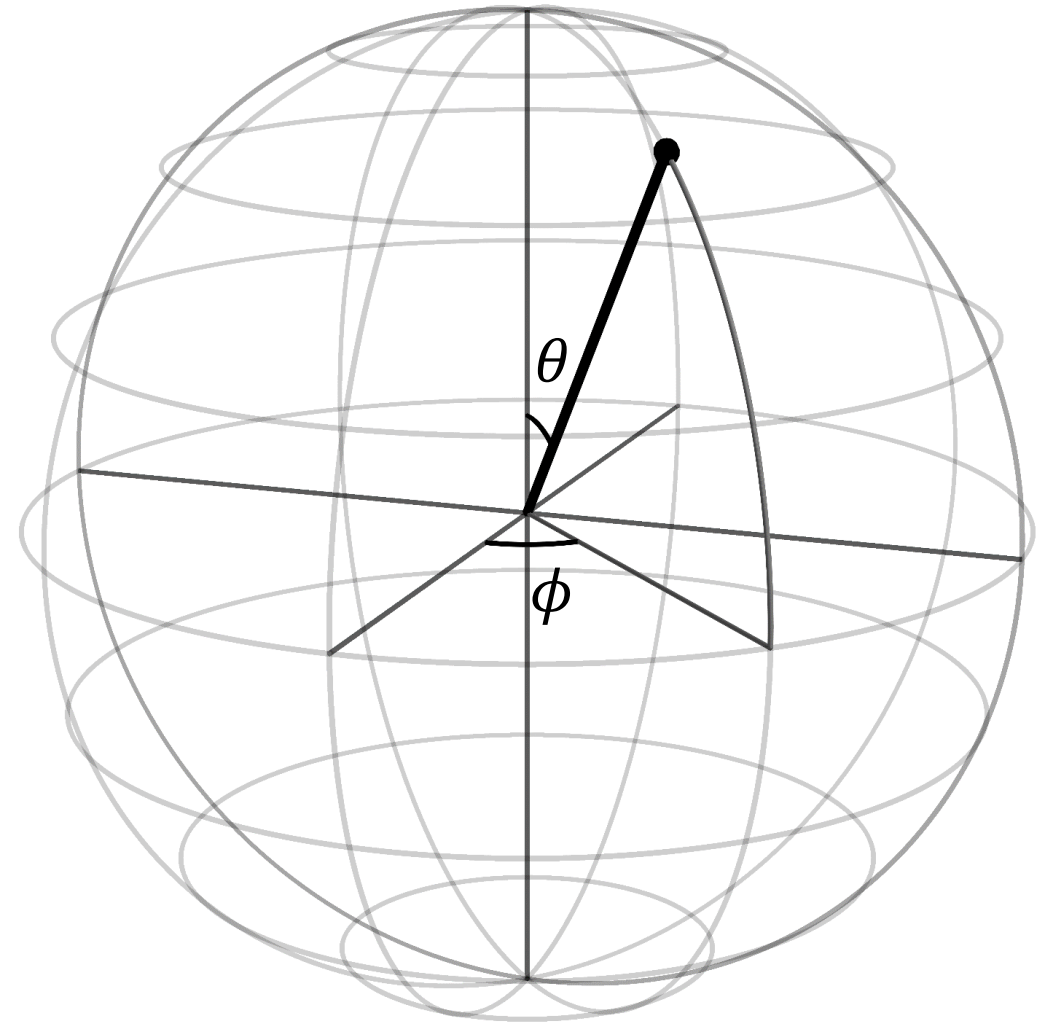
- 1 量子ビットの任意の状態ベクトルは、グローバル位相を除いて以下のように書ける。

$$|\psi\rangle = \cos\frac{\theta}{2}|0\rangle + e^{i\phi}\sin\frac{\theta}{2}|1\rangle$$

- (θ, ϕ) は球面上の一点に対応付けられる。
- このような表現方法を**ブロッホ球**表現と呼ぶ。

演習：

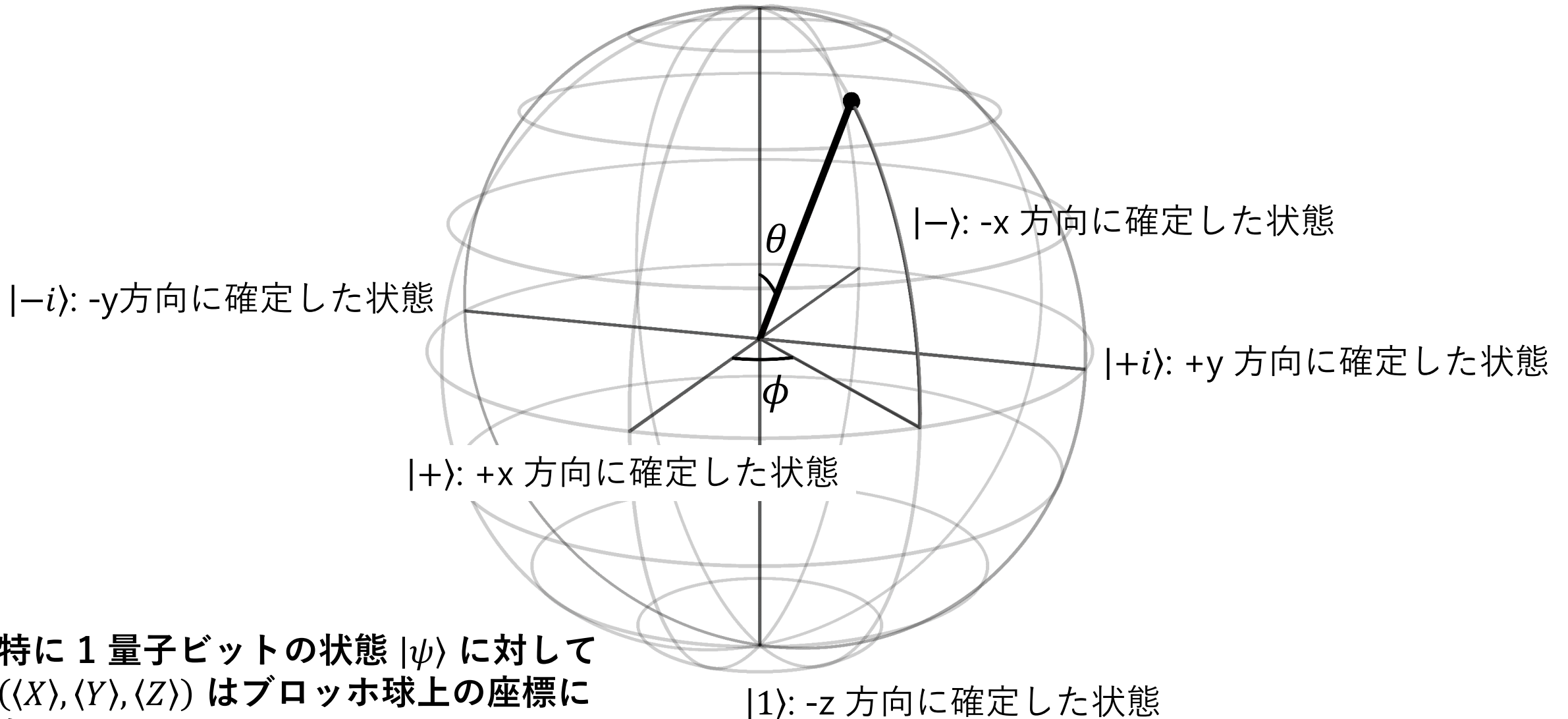
X, Y, Z の固有ベクトルをブロッホ球上にプロットしてください。



ブロッホ球上の量子状態の物理的意味

$S=1/2$ のスピンの言葉に翻訳すると

$|0\rangle$: +z 方向に確定した状態



特に 1 量子ビットの状態 $|\psi\rangle$ に対して
($\langle X \rangle, \langle Y \rangle, \langle Z \rangle$) はブロッホ球上の座標になる！

パウリ演算子による 1 量子ビット操作

パウリ演算子はどのように作用するか？

$$X = \begin{pmatrix} 0 & 1 \\ 1 & 0 \end{pmatrix} \quad Y = \begin{pmatrix} 0 & -i \\ i & 0 \end{pmatrix} \quad Z = \begin{pmatrix} 1 & 0 \\ 0 & -1 \end{pmatrix}$$

➤ パウリ X は量子ビットを反転する。=**NOTゲート**

$$X|0\rangle = |1\rangle, \quad X|1\rangle = |0\rangle$$

➤ パウリ Y も量子ビットを反転するが、位相をつける。

$$Y|0\rangle = i|1\rangle, \quad Y|1\rangle = -i|0\rangle$$

➤ パウリ Z は $|1\rangle$ に位相をつける。

$$Z|0\rangle = |0\rangle, \quad Z|1\rangle = -|1\rangle$$

演習：

Z を X の固有ベクトルに作用させるとどうなるか計算してください。

回転ゲート

以下の 3 つのユニタリをそれぞれ x , y , z 回転ゲートと呼ぶ。

$$R_x(\theta) = e^{-i\theta X/2} \quad R_y(\theta) = e^{-i\theta Y/2} \quad R_z(\theta) = e^{-i\theta Z/2}$$

演習： x 軸回転ゲートについて、以下の関係式を示してください。

$$e^{-i\theta X/2} = I \cos \frac{\theta}{2} - iX \sin \frac{\theta}{2}$$

ブロッホ球上での回転ゲート

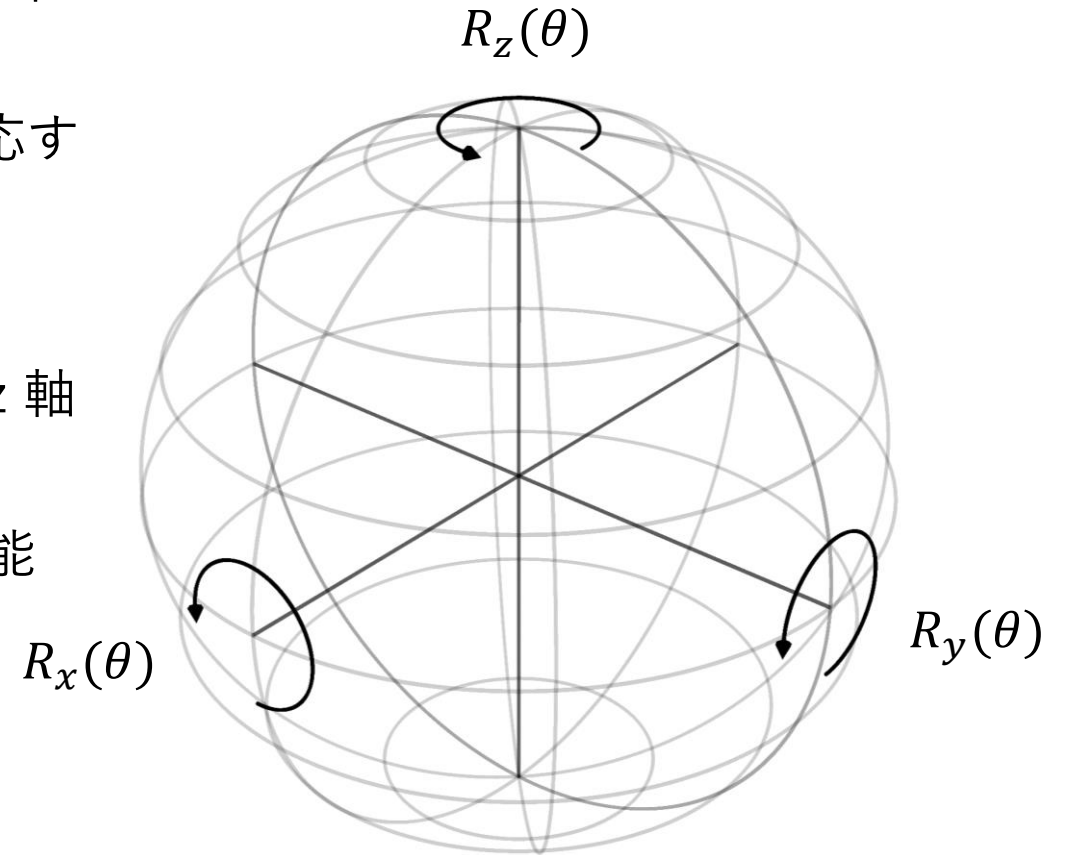
- x, y, z 回転ゲートはブロッホ球上でみると x, y, z 軸の回転に対応する。
- 1 量子ビットの任意の状態はブロッホ球上に1対1対応するので、

1量子ビットのユニタリ変換 = ブロッホ球上の回転

- 任意の 3 次元空間の回転は z 軸回転 $\rightarrow x$ 軸回転 $\rightarrow z$ 軸回転で表せる。

\rightarrow 任意の 1 量子ビットユニタリは、次のように分解可能

$$U = e^{i\alpha} R_z(\theta_3) R_x(\theta_2) R_z(\theta_1)$$



その他の重要なゲートとその性質

➤ アダマールゲート

$$H = \frac{1}{\sqrt{2}} \begin{pmatrix} 1 & 1 \\ 1 & -1 \end{pmatrix}$$

➤ S ゲート

$$S = \begin{pmatrix} 1 & 0 \\ 0 & i \end{pmatrix}$$

➤ T ゲート

$$T = \begin{pmatrix} 1 & 0 \\ 0 & e^{i\pi/8} \end{pmatrix}$$

演習：

- (1) $H|0\rangle = |+\rangle, H|1\rangle = |-\rangle$ を示してください。
- (2) $H^2 = I, HXH = Z, HZH = X$ を示してください。
- (3) $SXS^\dagger = Y, S^\dagger YS = X$ を示してください。

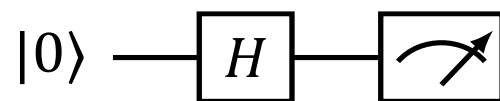
量子ビットの測定/量子回路

測定：

- $|\psi\rangle$ を測定すると、 $|0\rangle$ or $|1\rangle$ がランダムに得られる。
- それぞれの確率は $|\langle 0|\psi\rangle|^2$ と $|\langle 1|\psi\rangle|^2$
- 観測結果に応じて、量子ビットは $|0\rangle$ か $|1\rangle$ に収束する。(射影測定)

量子回路：

- 量子ビットに対する操作を視覚的にわかりやすくする。
- 下の例は、 $|0\rangle$ に初期化 $\rightarrow H$ ゲートを作用 \rightarrow 測定 のシーケンスを表す量子回路。



演習

演習 (レポート) :

- (1) 状態 $|\psi\rangle$ に用意した量子ビットを N 回 $|0\rangle, |1\rangle$ 射影測定したら、0 が N_0 回、1 が N_1 回得られた。この状態 $|\psi\rangle$ に対する Z の期待値 $\langle\psi|Z|\psi\rangle$ を推定してください。
- (2) 状態 $|\psi\rangle$ が与えられたとき、1量子ビットの任意のエルミート演算子 H に対して、 $\langle\psi|H|\psi\rangle$ を推定したい。量子ビットに対する操作として、
 - ・ 任意の1量子ビットゲート
 - ・ $|0\rangle, |1\rangle$ の射影測定が許されているとき、どのように推定すればよいでしょうか？

複数量子ビット

複数の量子系

- 2つの量子系 A, B があるとき、その状態はそれぞれの状態ベクトル空間の**テンソル積**によって記述される。

- A の基底を $|i\rangle_A$, B の基底を $|j\rangle_B$ とするとき、複合系の状態は一般に

$$\sum_{i,j} c_{ij} |i\rangle_A \otimes |j\rangle_B$$

\otimes : ベクトルのテンソル積を表す記号

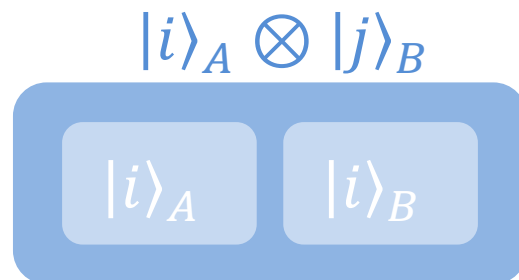
になる。

- 特に、 A が $|\psi\rangle_A$ の状態で、 B が $|\phi\rangle_B$ の状態にあるとき、複合系の状態は

$$|\psi\rangle_A \otimes |\phi\rangle_B$$

となる。

- この状態を $|i\rangle_A, |j\rangle_B$ 基底で測定すると、 $|c_{ij}|^2$ の確率で A に i が、 B に j が観測される。



テンソル積の演算規則など

- 普通の掛け算のように計算して OK !

$$\left(\sum_i a_i |i\rangle \right) \otimes \left(\sum_j b_j |j\rangle \right) = \sum_{i,j} a_i b_j |i\rangle \otimes |j\rangle$$

- 内積

$$(\langle a| \otimes \langle b|)(|c\rangle \otimes |d\rangle) = \langle a|c\rangle \langle b|d\rangle$$

- \otimes を毎回書くのは面倒なので、よく次のように省略する。

$$|i\rangle \otimes |j\rangle = |i\rangle |j\rangle = |ij\rangle$$

- ベクトル表記でのテンソル積の計算方法

$$\begin{pmatrix} a_1 \\ a_2 \\ \vdots \\ a_n \end{pmatrix} \otimes \begin{pmatrix} b_1 \\ b_2 \\ \vdots \\ b_m \end{pmatrix} = \begin{pmatrix} a_1 \begin{pmatrix} b_1 \\ \vdots \\ b_m \end{pmatrix} \\ a_2 \begin{pmatrix} b_1 \\ \vdots \\ b_m \end{pmatrix} \\ \vdots \end{pmatrix} = \begin{pmatrix} a_1 b_1 \\ a_1 b_2 \\ \vdots \\ a_n b_m \end{pmatrix}$$

テンソル積について演習問題

演習：

- (1) $a|0\rangle + b|1\rangle$ と $c|0\rangle + d|1\rangle$ の状態にある 2 つの量子ビットがある。この複合系の状態をテンソル積を使って計算してください。
- (2) 各ビット列 00, 01, 10, 11 が観測される確率は、直感的なものとあっているでしょうか？
- (3) n 量子ビットの状態は、何次元のベクトルでしょうか？

演算子のテンソル積

- 複合系に作用する演算子は、演算子のテンソル積で記述される。
- 演算子 $A = \sum_{i,j} A_{ij} |i\rangle\langle j|$ と $B = \sum_{k,l} B_{kl} |k\rangle\langle l|$ のテンソル積は以下のように計算できる。

$$\begin{aligned} A \otimes B &= \left(\sum_{i,j} A_{ij} |i\rangle\langle j| \right) \otimes \left(\sum_{k,l} B_{kl} |k\rangle\langle l| \right) \\ &= \sum_{ijkl} A_{ij} B_{kl} (|i\rangle\langle j|) \otimes (|k\rangle\langle l|) \\ &= \sum_{ijkl} A_{ij} B_{kl} (|i\rangle \otimes |k\rangle)(\langle j| \otimes \langle l|) \\ &= \sum_{ijkl} A_{ij} B_{kl} |ik\rangle\langle jl| \end{aligned}$$

- $A \otimes B$ は1番目の系に A を作用させ、2番目の系に B を作用させるという演算子

演算子のテンソル積 (行列表示)

➤ 行列表記でのテンソル積の計算方法

$$\begin{aligned} A \otimes B &= \begin{pmatrix} A_{11} & A_{12} & \cdots & A_{1n} \\ A_{21} & A_{22} & \cdots & A_{2n} \\ \vdots & \vdots & \ddots & \vdots \\ A_{n1} & A_{n2} & \cdots & A_{nn} \end{pmatrix} \otimes \begin{pmatrix} B_{11} & B_{12} & \cdots & B_{1m} \\ B_{21} & B_{22} & \cdots & B_{2m} \\ \vdots & \vdots & \ddots & \vdots \\ B_{m1} & B_{m2} & \cdots & B_{mm} \end{pmatrix} \\ &= \begin{pmatrix} A_{11} \begin{pmatrix} B_{11} & \cdots & B_{1m} \\ \vdots & \ddots & \vdots \\ B_{m1} & \cdots & B_{mm} \end{pmatrix} & A_{12} \begin{pmatrix} B_{11} & \cdots & B_{1m} \\ \vdots & \ddots & \vdots \\ B_{m1} & \cdots & B_{mm} \end{pmatrix} & \cdots \\ A_{21} \begin{pmatrix} B_{11} & \cdots & B_{1m} \\ \vdots & \ddots & \vdots \\ B_{m1} & \cdots & B_{mm} \end{pmatrix} & A_{22} \begin{pmatrix} B_{11} & \cdots & B_{1m} \\ \vdots & \ddots & \vdots \\ B_{m1} & \cdots & B_{mm} \end{pmatrix} & \cdots \\ \vdots & \vdots & \ddots \end{pmatrix} \\ &= \begin{pmatrix} A_{11}B_{11} & A_{11}B_{12} & \cdots & A_{1n}B_{1m} \\ A_{11}B_{21} & A_{11}B_{22} & \cdots & A_{1n}B_{2m} \\ \vdots & \vdots & \ddots & \vdots \\ A_{n1}B_{m1} & A_{n1}B_{m2} & \cdots & A_{nn}B_{mm} \end{pmatrix} \end{aligned}$$

行列のテンソル積について演習問題

演習：

(1) $X \otimes I, X \otimes X, I \otimes Z$ の行列表示を計算してください。

(2) 2量子ビットの状態

$$a|00\rangle + b|01\rangle + c|10\rangle + d|11\rangle = \begin{pmatrix} a \\ b \\ c \\ d \end{pmatrix}$$

に対して上で求めた行列を作用させてみてください。

(3) $A \otimes B$ という演算子が、各系に A, B をそれぞれ作用させる演算子となっていることを、上の例で確認しましょう。

(4) n 量子ビットに作用する演算子は、何次元の行列でしょうか？

2量子ビットゲート

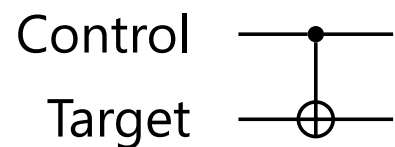
代表的な 2 量子ビットゲート

➤ Controlled-NOT (CNOT) ゲート

control bit が 1 のときのみ、target bit を反転する。

$$\text{CNOT} = |0\rangle\langle 0| \otimes I + |1\rangle\langle 1| \otimes X$$

回路記号



入出力対応

入力	出力
$ 00\rangle$	$ 00\rangle$
$ 01\rangle$	$ 01\rangle$
$ 10\rangle$	$ 11\rangle$
$ 11\rangle$	$ 10\rangle$

行列表記

$$\text{CNOT} = \begin{pmatrix} 1 & 0 & 0 & 0 \\ 0 & 1 & 0 & 0 \\ 0 & 0 & 0 & 1 \\ 0 & 0 & 1 & 0 \end{pmatrix}$$

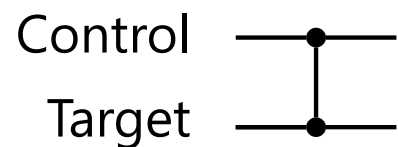
代表的な 2 量子ビットゲート

➤ Controlled-Z (CZ) ゲート

control bit が 1 のときのみ、target bit に Z ゲートをかける。

$$CZ = |0\rangle\langle 0| \otimes I + |1\rangle\langle 1| \otimes Z$$

回路記号



入出力対応

入力	出力
$ 00\rangle$	$ 00\rangle$
$ 01\rangle$	$ 01\rangle$
$ 10\rangle$	$ 10\rangle$
$ 11\rangle$	$- 11\rangle$

行列表記

$$CZ = \begin{pmatrix} 1 & 0 & 0 & 0 \\ 0 & 1 & 0 & 0 \\ 0 & 0 & 1 & 0 \\ 0 & 0 & 0 & -1 \end{pmatrix}$$

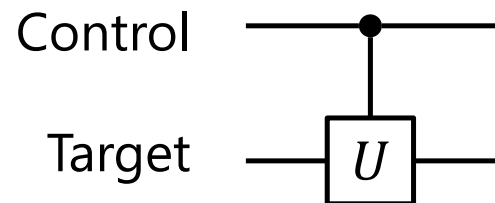
代表的な 2 量子ビットゲート

➤ Controlled-U ゲート

control bit が 1 のときのみ、target bit に U をかける。

$$C(U) = |0\rangle\langle 0| \otimes I + |1\rangle\langle 1| \otimes U$$

回路記号



入出力対応

入力	出力
$ 00\rangle$	$ 00\rangle$
$ 01\rangle$	$ 01\rangle$
$ 10\rangle$	$ 1\rangle \otimes U 0\rangle$
$ 11\rangle$	$ 1\rangle \otimes U 1\rangle$

行列表記

$$C(U) = \begin{pmatrix} 1 & 0 & 0 & 0 \\ 0 & 1 & 0 & 0 \\ 0 & 0 & U_{11} & U_{12} \\ 0 & 0 & U_{21} & U_{22} \end{pmatrix}$$

代表的な 2 量子ビットゲート

➤ SWAP ゲート

2 量子ビットの状態を交換する。

$$\text{SWAP} = |00\rangle\langle 00| + |01\rangle\langle 10| + |10\rangle\langle 01| + |11\rangle\langle 11|$$

回路記号



入出力対応

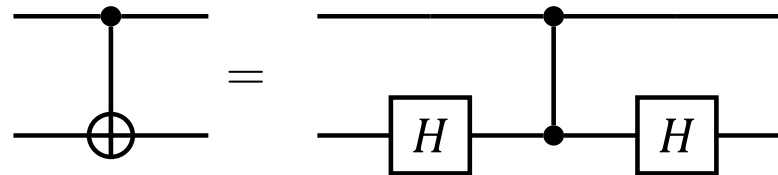
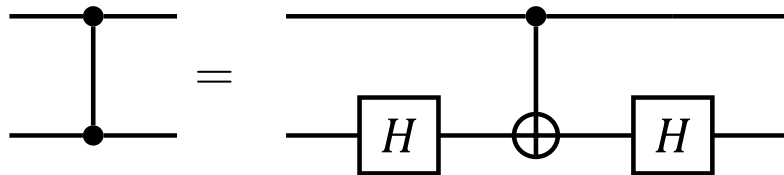
入力	出力
$ 00\rangle$	$ 00\rangle$
$ 01\rangle$	$ 10\rangle$
$ 10\rangle$	$ 01\rangle$
$ 11\rangle$	$ 11\rangle$

行列表記

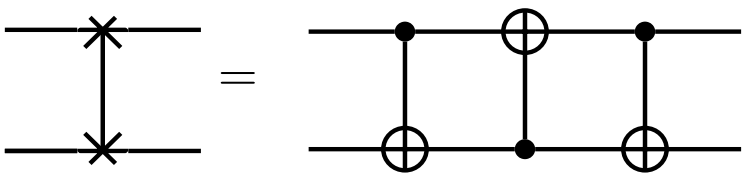
$$\text{SWAP} = \begin{pmatrix} 1 & 0 & 0 & 0 \\ 0 & 0 & 1 & 0 \\ 0 & 1 & 0 & 0 \\ 0 & 0 & 0 & 1 \end{pmatrix}$$

代表的な 2 量子ビットゲート間の関係

- CZ ゲート \Leftrightarrow CNOT ゲート ($HZH = X$ の関係式による。)



- CNOT ゲート \Rightarrow SWAP ゲート



演習：これらの関係が正しいことを示してください

ちょっと脇道：
エンタングルメント/量子テレポーテーション

エンタングルメント

- **積状態** (product state) :
 $|a\rangle \otimes |b\rangle$ の形に書ける状態のこと。それぞれの量子ビットが独立に $|a\rangle, |b\rangle$ の状態にある状況に対応する。
- **エンタングル状態** (entangled state) :
 $|a\rangle \otimes |b\rangle$ の形で書けない状態のこと。「それぞれの量子ビットがある特定の状態にいる」という考え方が破綻する。
- もつれ状態の例：ベル状態

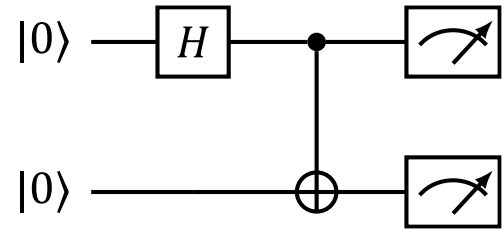
$$\left. \begin{array}{c} |0\rangle \text{ --- } [H] \text{ --- } \bullet \\ |0\rangle \text{ --- } \oplus \end{array} \right\} \frac{1}{\sqrt{2}} |00\rangle + \frac{1}{\sqrt{2}} |11\rangle$$

演習：

ベル状態 $\frac{1}{\sqrt{2}}(|00\rangle + |11\rangle)$ がエンタングルしていることを示してください。

エンタングルメントと古典相関

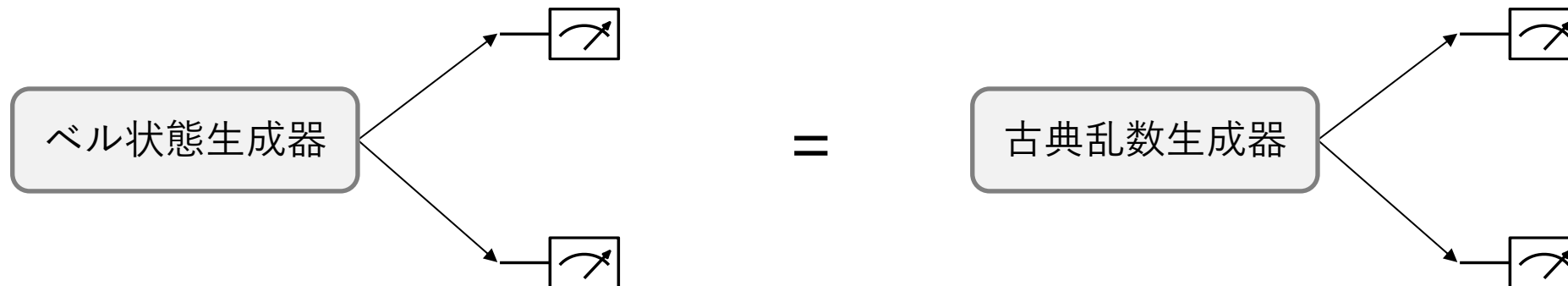
- エンタングルメントに関してよくある説明：



00 or 11 しか出ない！

片方を知るともう片方がわかる → エンタングルしている！

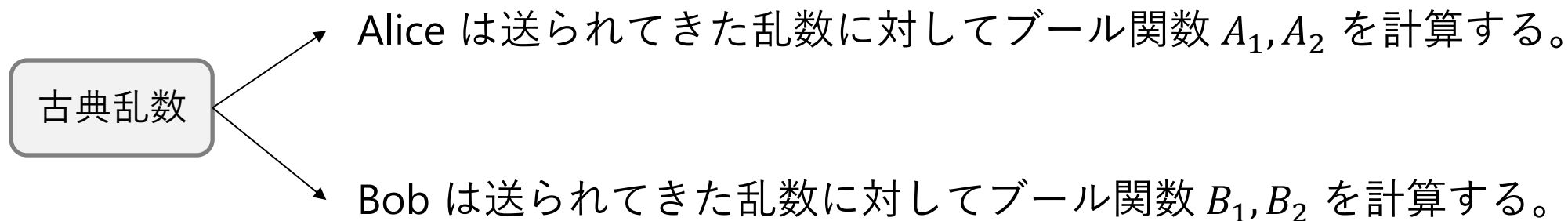
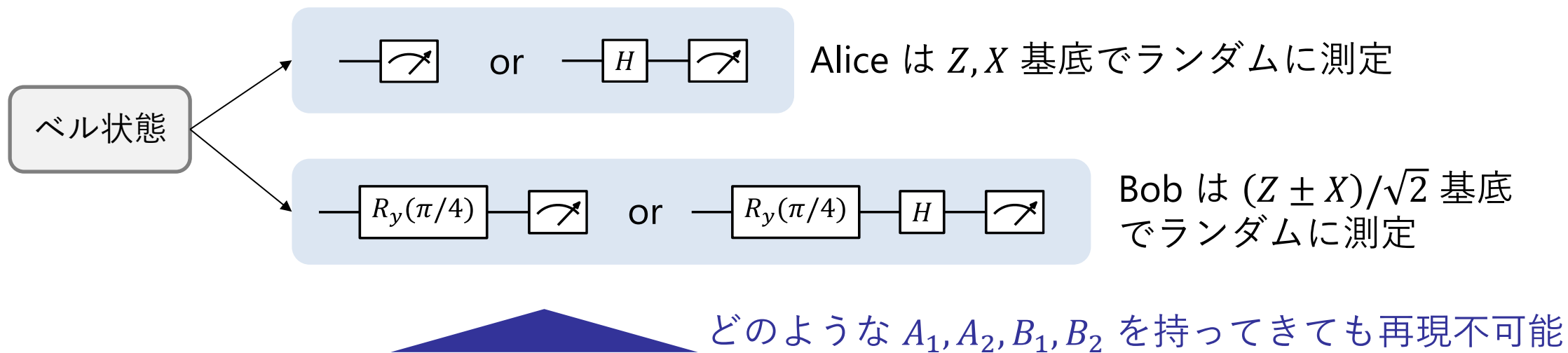
- でもこれは古典相関でも可能。00 or 11 しか出ない乱数生成器は簡単に作れる。



どちらも 00 or 11 しか出ない。最後に観測する人からすればどちらも等価。

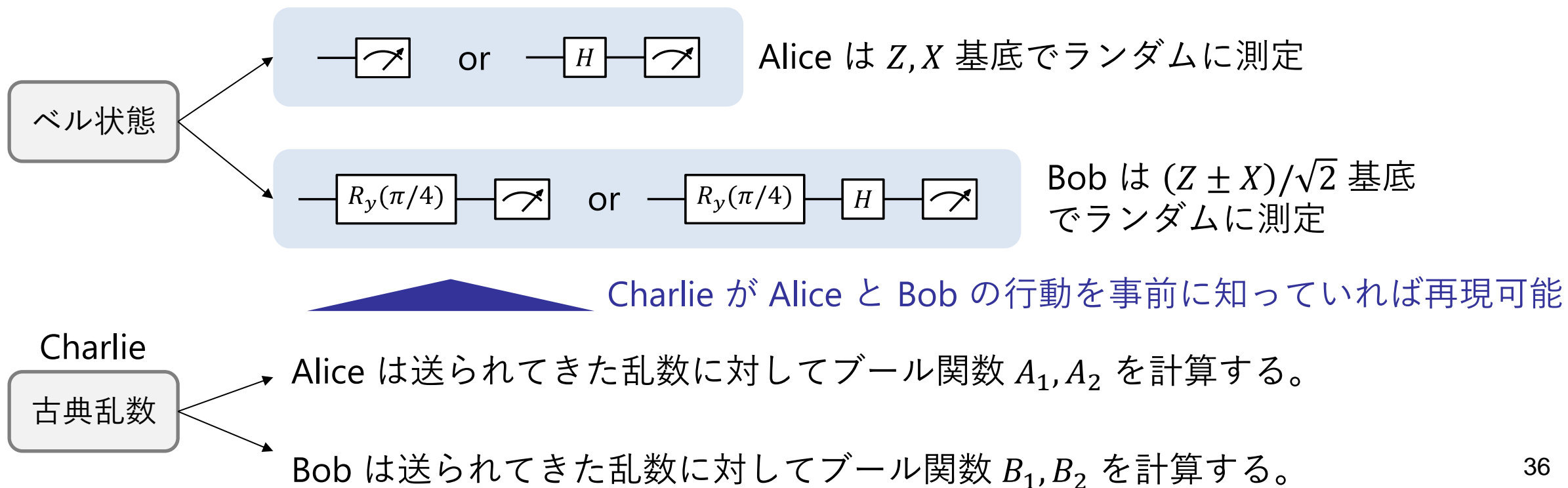
量子相関

- 送られてきた情報の複数の側面を見なければ、古典と同じ。
- 下のようなセットアップで得られる確率分布は、**古典情報の送受信では絶対に実現できないことが知られている。(CHSH 不等式)**



量子相関

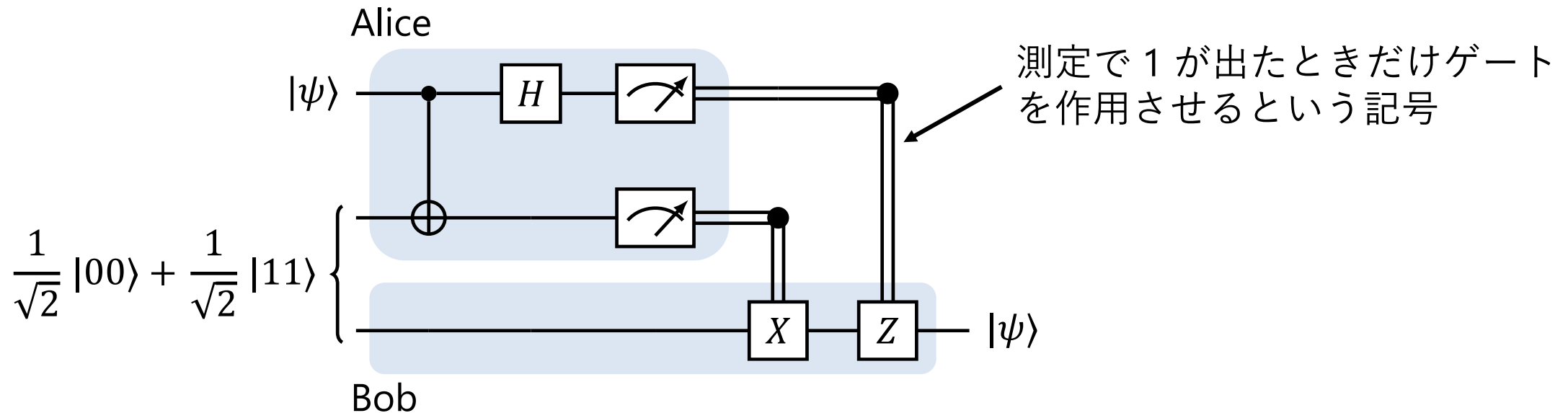
- 送られてきた情報の複数の側面を見なければ、古典と同じ。
- 下のようなセットアップで得られる確率分布は、**古典情報の送受信では絶対に実現できないことが知られている。(CHSH 不等式, Bell 不等式)**
- ただし、乱数を発生させる人が、各試行で Alice と Bob が何を計算するかあらかじめ知っているときは実現可能。



エンタングルメントの応用例

➤ 量子テレポーテーション:

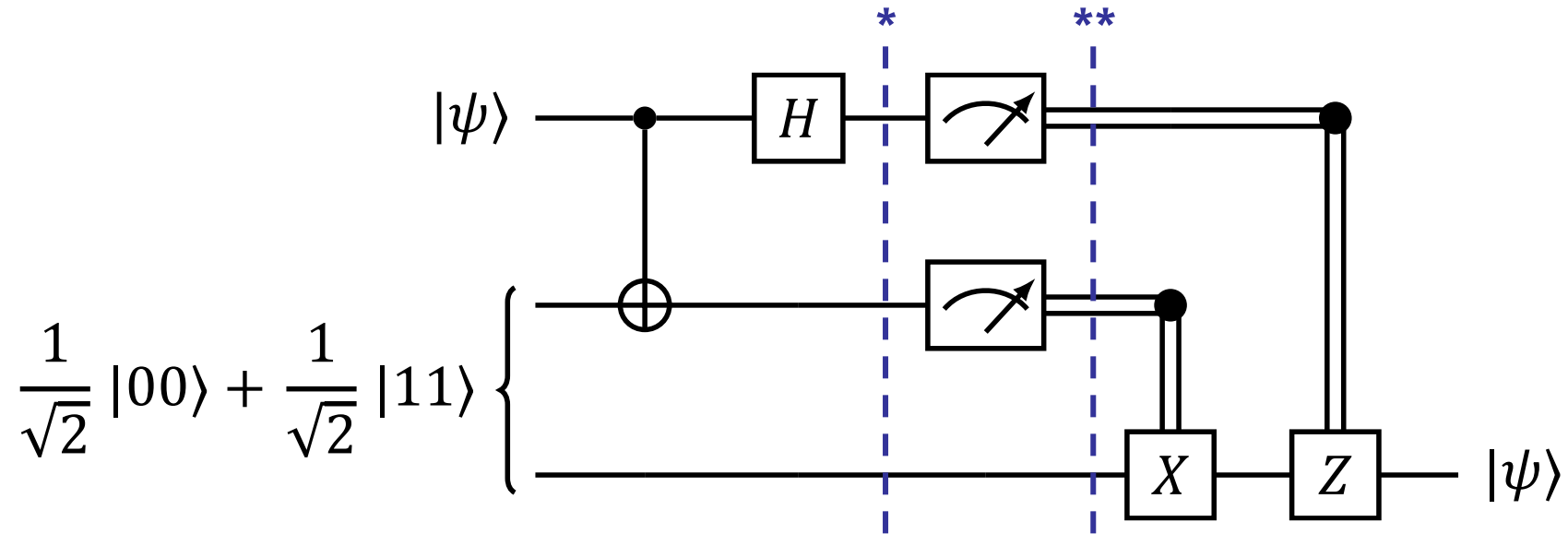
ベル状態を使って、1量子ビットの状態 $|\psi\rangle = \alpha|0\rangle + \beta|1\rangle$ を送信する。



エンタングルメントの応用例

➤ 量子テレポーテーション:

ベル状態を使って、1量子ビットの状態 $|\psi\rangle = \alpha|0\rangle + \beta|1\rangle$ を送信する。



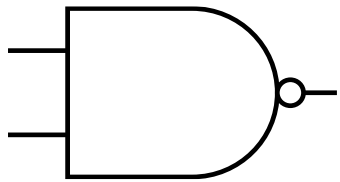
演習 (レポート):

- (1) * での量子状態を計算してください。
- (2) Bob の量子ビットから $|\psi\rangle = \alpha|0\rangle + \beta|1\rangle$ が出力されることを確認してください。
- (3) (発展) ** 時点で(Alice の測定結果を知らない状態で)、Bob が適当な物理量 O の期待値を測定すると、その値は α, β に依存しないことを示してください。

古典計算 \subseteq 量子計算

古典計算

- 古典計算ができるべきタスク：
ビット列 $b_1 \cdots b_n$ を受け取って、ビット b を返す関数 $f(b_1 \cdots b_n)$ を計算する。
- NAND 演算は**万能** (NAND の組み合わせでどんな関数 $f(b_1 \cdots b_n)$ も計算できる。)



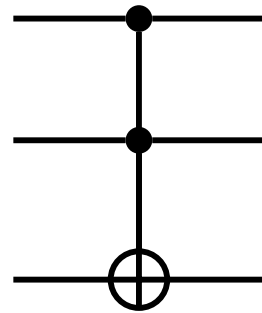
NAND 回路記号

入出力関係

入力	出力
00	1
01	1
10	1
11	0

可逆古典計算

- 古典計算ができるべきタスク：
ビット列 $b_1 \cdots b_n$ を受け取って、ビット b を返す関数 $f(b_1 \cdots b_n)$ を計算する。
- 可逆な演算のみを使うのが、**可逆古典計算**。
- **トフォリゲート (CCNOTゲート) が万能。** (NAND を実現できる。)



トフォリゲート回路記号

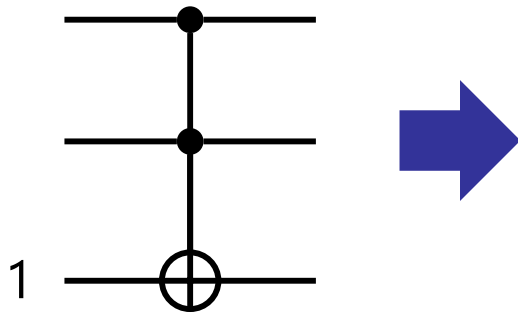
入出力関係

入力	出力
000	000
001	001
010	010
011	011
100	100
101	101
110	111
111	110

入出力が1対1対応
→可逆

トフォリゲートで NAND を作る

- ターゲットビットを 1 に初期化しておく、NAND が実現できる。
→ 多数のビットが必要になるが、どんなブール関数でも計算可能。

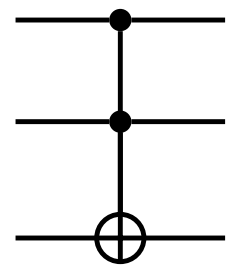


制御ビットの入力	ターゲットビットの出力
00	1
01	1
10	1
11	0

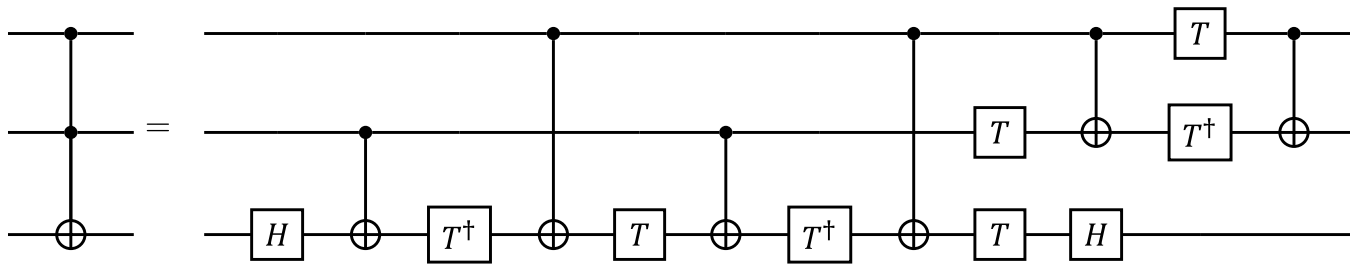
演習 (レポート) : NOT, CNOT, Toffoli ゲートを使って、半加算器で必要となる論理式 $S = b_1 \oplus b_2$, $C = b_1 \cdot b_2$ を構成してください。

古典計算 \subseteq 量子計算

- トフォリゲートはユニタリーとして実現できる。


$$= \begin{pmatrix} 1 & 0 & 0 & 0 & 0 & 0 & 0 & 0 \\ 0 & 1 & 0 & 0 & 0 & 0 & 0 & 0 \\ 0 & 0 & 1 & 0 & 0 & 0 & 0 & 0 \\ 0 & 0 & 0 & 1 & 0 & 0 & 0 & 0 \\ 0 & 0 & 0 & 0 & 1 & 0 & 0 & 0 \\ 0 & 0 & 0 & 0 & 0 & 1 & 0 & 0 \\ 0 & 0 & 0 & 0 & 0 & 0 & 0 & 1 \\ 0 & 0 & 0 & 0 & 0 & 0 & 1 & 0 \end{pmatrix}$$

- 実は CNOT + 1量子ビットゲートによって次のように分解可能。



From Nielsen-Chuang textbook.

量子計算は任意の古典計算を実行可能

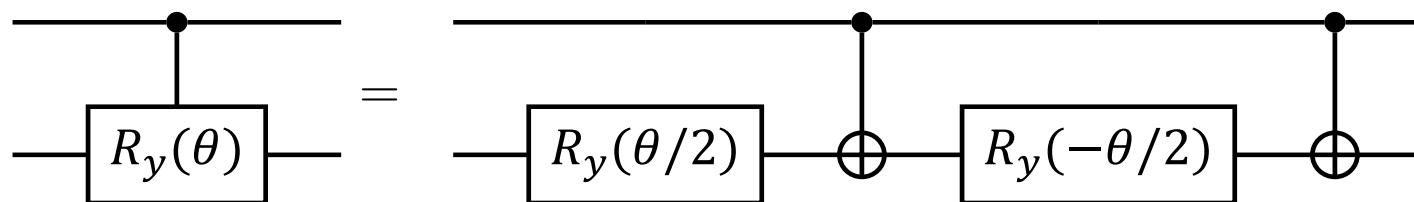
CNOT + 1 量子ビットゲートで 量子ゲートを合成する

制御回転ゲート

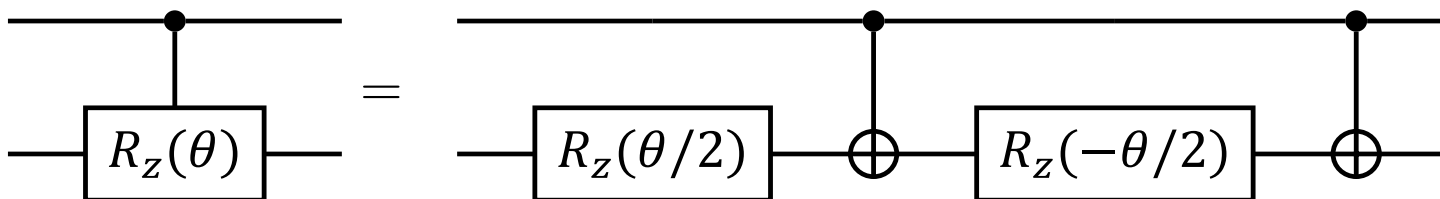
- Controlled- $R_y(\theta)$ ゲートを CNOT と 1 量子ビット回転で作りたい。
- 次の等式を使う。

$$XYX = -Y \Rightarrow XR_y(\theta)X = R_y(-\theta)$$

- 以下のように分解できることがわかる。



- $XZX = -Z$, $ZXZ = -X$ を使えば同様に Controlled- $R_z(\theta)$, $R_x(\theta)$ ゲートも分解可能。



演習 (レポート) : Controlled- $R_x(\theta)$ ゲートを CNOT と 1 量子ビット回転に分解してください

制御 U ゲート

- 1 量子ビットの任意のユニタリ U について、Controlled- U ゲートを CNOT と 1 量子ビット回転で作りたい。

- 1 量子ビットのユニタリは次のように分解できるのだった。

$$U = e^{i\alpha} R_z(\theta_3) R_x(\theta_2) R_z(\theta_1)$$

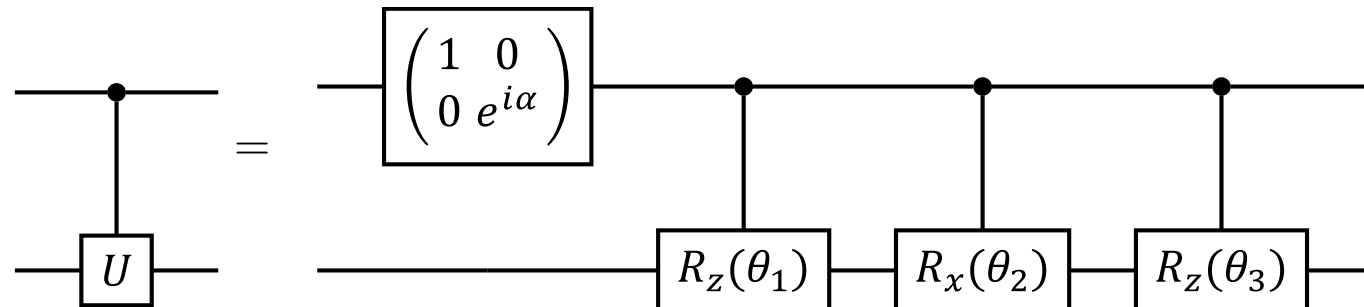
- それぞれを controlled 化すれば、controlled- U が得られる。

- このとき $e^{i\alpha}$ は 1 のときのみターゲット量子ビットに位相 $e^{i\alpha}$ をつけるゲート

$$|0\rangle_{\text{ctrl}}|\psi\rangle_{\text{targ}} \rightarrow |0\rangle_{\text{ctrl}}|\psi\rangle_{\text{targ}}, \quad |1\rangle_{\text{ctrl}}|\psi\rangle_{\text{targ}} \rightarrow |1\rangle_{\text{ctrl}}e^{i\alpha}|\psi\rangle_{\text{targ}} = e^{i\alpha}|1\rangle_{\text{ctrl}}|\psi\rangle_{\text{targ}}$$

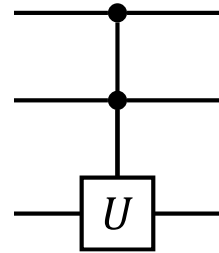
になる。これは制御量子ビットの $|1\rangle$ に位相をつけるゲートと等価。

- したがって、Controlled- U は次のように分解できる。

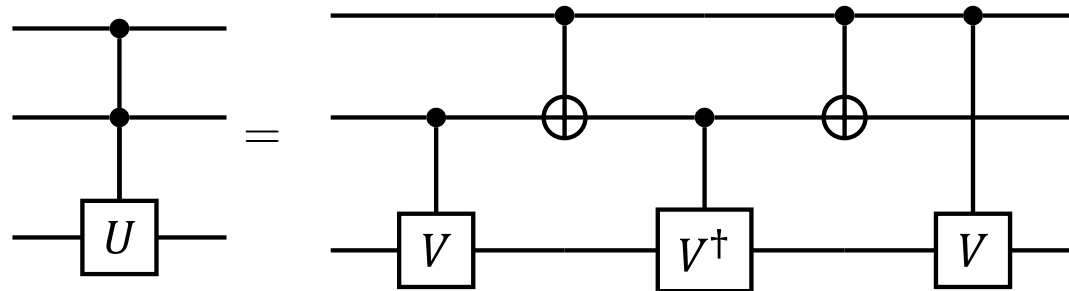


制御ビットが2つある量子ゲート

- 図のような C^2-U ゲートを作りたい。



- Controlled- R_y を作ったときと同じアイデアで、 $V^2 = U$ となるような V を使って次のように分解する。

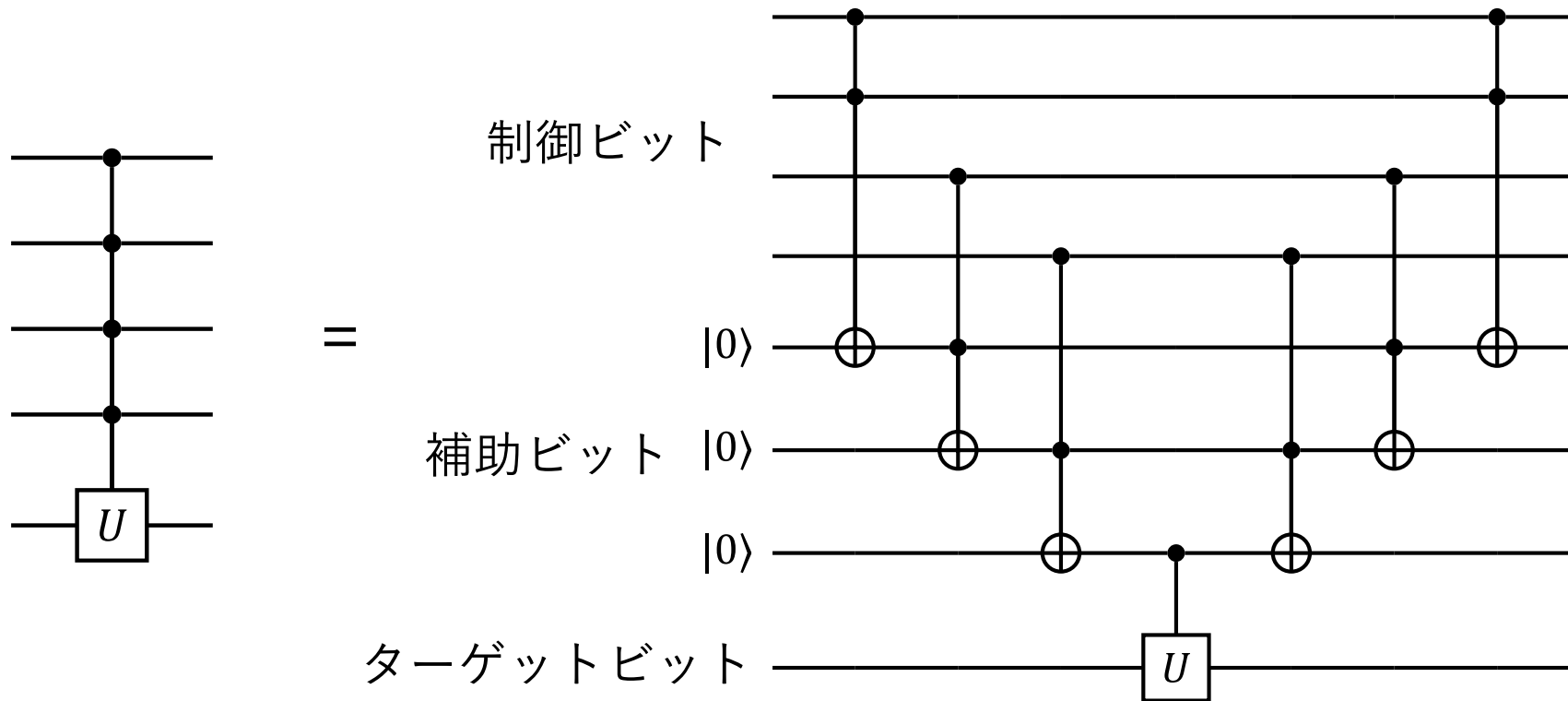


トフォリゲートも同様に分解可能。

演習： 制御ビットに 00, 01, 10, 11 を入力した場合を考えて、上記の分解が正しいことを確かめてください。

制御ビットが n 個ある量子ゲート

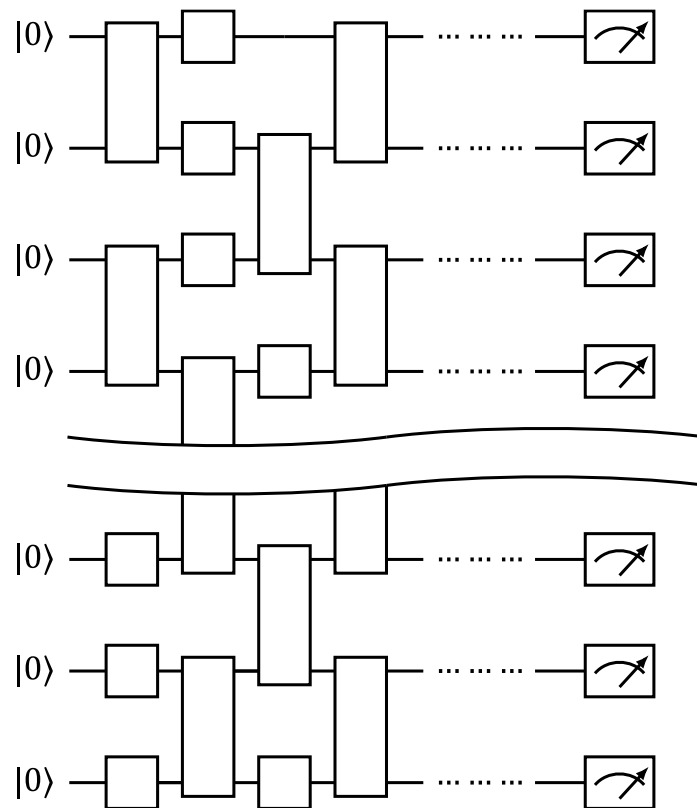
- 例えば 4 つの制御ビットを持つ制御 U ゲートは以下のように作れる。



万能量子計算

万能量子計算機

- n 量子ビットに対して、任意の $2^n \times 2^n$ ユニタリ行列を作用させられる計算機を、**万能量子計算機 (universal quantum computer)** と呼ぶ。
- 任意の 1 量子ビットゲートと CNOT を持つ量子コンピュータは万能になる。



任意の n qubit ユニタリの構成 (1)

- 2^n 次元の空間のうち、2次元の部分空間にのみ作用するユニタリ (two-level unitary gates) は万能
- 3×3 行列の例を見るとわかる。以下のユニタリを作りたいとする。

$$U = \begin{pmatrix} u_{11} & u_{12} & u_{13} \\ u_{21} & u_{22} & u_{23} \\ u_{31} & u_{32} & u_{33} \end{pmatrix}$$

- $U_3 U_2 U_1 U = I$ となる two level unitaries U_1, U_2, U_3 を以下の手順で見つける。

- $U_1 = \begin{pmatrix} u_{11} & u_{12} & 0 \\ u_{21} & u_{22} & 0 \\ 0 & 0 & 1 \end{pmatrix}$ をかけて、

$$U_1 U = \begin{pmatrix} u_{11} & u_{12} & u_{13} \\ 0 & u_{22} & u_{23} \\ u_{31} & u_{32} & u_{33} \end{pmatrix}$$

任意の n qubit ユニタリの構成

- 2^n 次元の空間のうち、2次元の部分空間にのみ作用するユニタリ (two-level unitary gates) は
万能

- 3×3 行列の例を見るとわかる。以下のユニタリを作りたいとする。

$$U = \begin{pmatrix} u_{11} & u_{12} & u_{13} \\ u_{21} & u_{22} & u_{23} \\ u_{31} & u_{32} & u_{33} \end{pmatrix}$$

- $U_3 U_2 U_1 U = I$ となる two level unitaries U_1, U_2, U_3 を以下の手順で見つける。

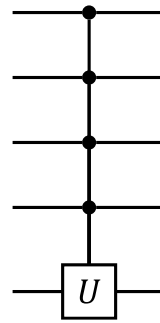
- $U_1 = \begin{pmatrix} a & b & 0 \\ c & d & 0 \\ 0 & 0 & 1 \end{pmatrix}$ をかけて、 $U_1 U = \begin{pmatrix} u'_{11} & u'_{12} & u'_{13} \\ 0 & u'_{22} & u'_{23} \\ u'_{31} & u'_{32} & u'_{33} \end{pmatrix}$ の形にできる。

- $U_2 = \begin{pmatrix} a' & 0 & b' \\ 0 & 1 & 0 \\ c' & 0 & d' \end{pmatrix}$ をかけて、 $U_2 U_1 U = \begin{pmatrix} u''_{11} & u''_{12} & u''_{13} \\ 0 & u''_{22} & u''_{23} \\ 0 & u''_{32} & u''_{33} \end{pmatrix} = \begin{pmatrix} 1 & 0 & 0 \\ 0 & u''_{22} & u''_{23} \\ 0 & u''_{32} & u''_{33} \end{pmatrix}$ の形にできる。

- $U_3 = \begin{pmatrix} 1 & 0 & 0 \\ 0 & a'' & b'' \\ 0 & c'' & d'' \end{pmatrix}$ をかけて、 $U_3 U_2 U_1 U = I$

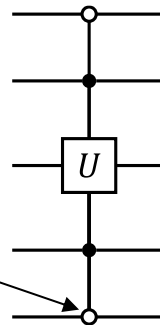
Two-level ユニタリの合成 (1)

- 2^n 次元の空間のうち、2つのビット列 $|b_1 b_2 \cdots b_n\rangle$ と $|b'_1 b'_2 \cdots b'_n\rangle$ で張られる空間でのユニタリはどのように作れるか？
- 複数制御ビットを持つ Controlled- U ゲートは $|11110\rangle$ と $|11111\rangle$ の空間に U をかける。



- 一般化すると、1ビットだけ異なるビット列で張られる部分空間に U を作用させられる。

白丸は $|0\rangle$ のときに U を作用させる制御を示す。

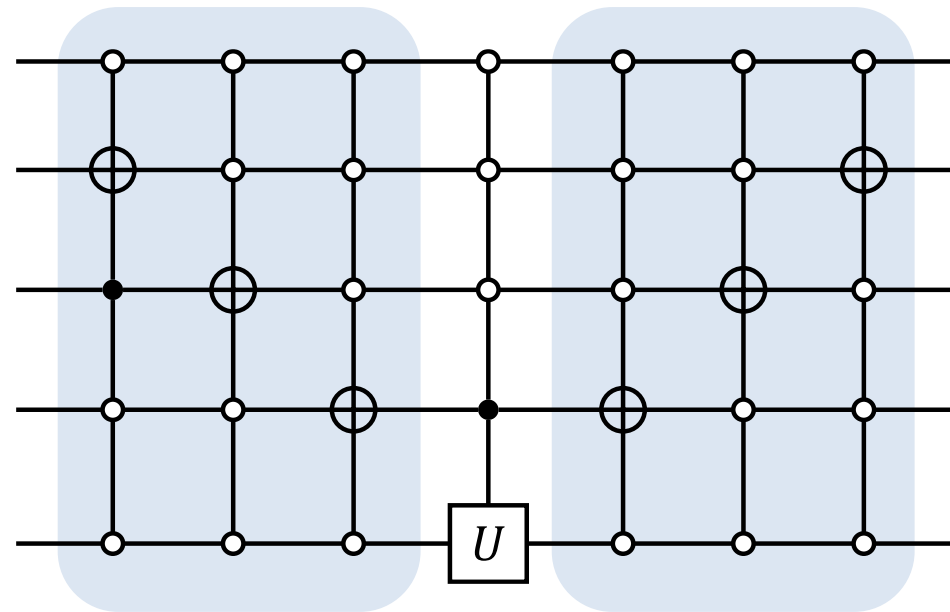


： $|01010\rangle$ と $|01110\rangle$ に U をかける

Two-level ユニタリの合成 (2)

➤ $|b_1 b_2 \cdots b_n\rangle$ と $|b'_1 b'_2 \cdots b'_n\rangle$ の間に U をかけたいときには、以下のようにする。

例： $|01100\rangle$ と $|00011\rangle$ に U をかける。

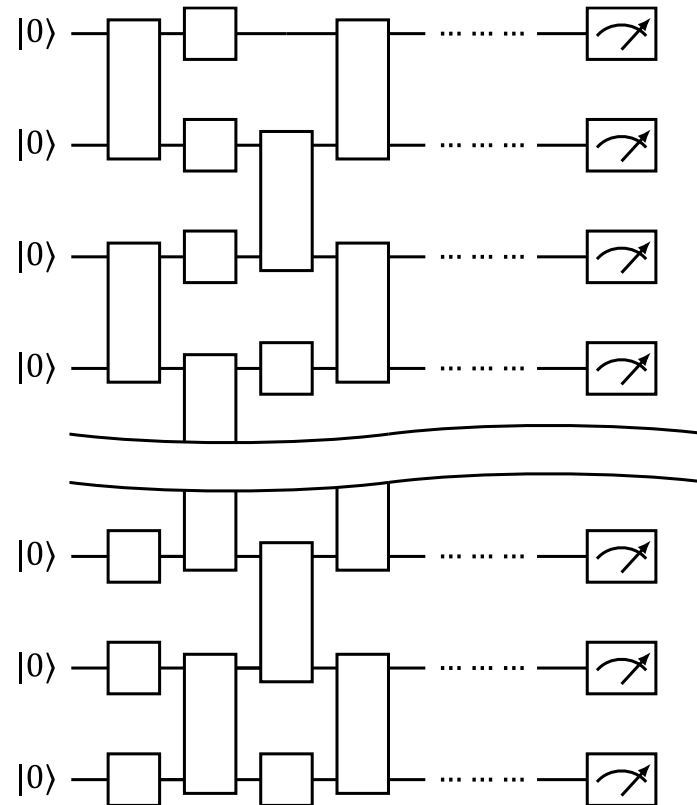


$$|01100\rangle \rightarrow |00010\rangle \quad |00010\rangle \rightarrow |01100\rangle$$

演習： n qubit に対する two-level ユニタリには最大何個の複数制御 CNOT ゲートが必要でしょうか？

万能量子計算機

- 複数制御 U ゲートは 1 量子ビットゲートと CNOT で作れたので...
- 任意の 1 量子ビットゲートと CNOT を持つ量子コンピュータは万能になる。



量子アルゴリズム

量子コンピュータの応用先

➤ 量子コンピュータが古典に対して優位性を持つ代表的な応用先/アルゴリズムは、次の4つ。

- 量子力学のシミュレーション
- 素因数分解
- データベース探索/組み合わせ最適化
- 行列計算

➤ 「量子計算が古典計算に対して優位」

⇒ (量子アルゴリズムの計算量オーダー) < (古典ベストアルゴリズムの計算量オーダー)

計算量オーダー

- あるアルゴリズムが必要とする計算量は、問題の入力サイズ n の関数になる。
- 入力サイズが大きい極限での漸近的な計算量を表すのには、オーダー記号が便利。
例：
 - $12n^2 + 5n + 1 = O(n^2)$
 - $2^n + n = O(2^n)$
 - $\log n + \log \log n = O(\log n)$
- $O(n \log n) = \tilde{O}(n)$ と書くことも。
- 多項式オーダーを $\text{poly } n$ とかく。($\text{poly } n = O(n^k)$ for all k).
- 一般に、「ある問題が効率的に計算できる。」 \Leftrightarrow 「 $\text{poly } n$ 時間のアルゴリズムが存在する。」
- 古典コンピュータが効率的に計算可能な（決定）問題のクラス：**P**
- 量子コンピュータが効率的に計算可能な（決定）問題のクラス：**BQP**

演習： $n \times n$ の 2 つの行列の積を計算するには、どのくらいのオーダーの計算が必要でしょうか？

量子アルゴリズムの計算量

➤ 量子コンピュータが古典に対して優位性を持つ代表的な応用先の計算量

□ n 個の量子力学的スピン $1/2$ の時間発展 [S. Lloyd, Science, **273**, 1073-1078 (1996)]

$$O(2^n) \rightarrow \text{poly } n$$

□ n bit 整数の素因数分解 [P. W. Shor, Proceedings 35th Annual Symposium on Foundations of Computer Science, 124-134 (1994)]

$$O\left(e^{1.9n^{1/3}(\log n)^{2/3}}\right) \rightarrow O(n^2 \log n \log \log n)$$

□ N 個のデータを持つデータベースの検索 [L. K. Grover, Proceedings, 28th Annual ACM Symposium on the Theory of Computing, 212-219, (1996)]

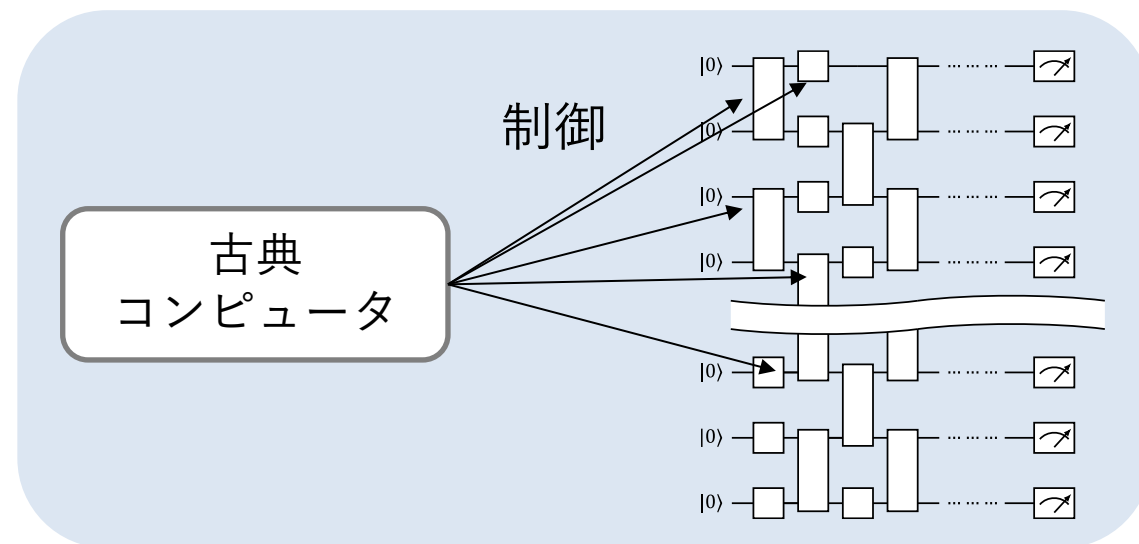
$$O(N) \rightarrow O(\sqrt{N})$$

□ N 次元疎行列の逆行列計算 (疎性 s , 条件数 κ , 精度 $1/\epsilon$) [A. Harrow et al., PRL, **103**, 150502 (2009)]

$$O(Ns\sqrt{\kappa} \log 1/\epsilon) \rightarrow \tilde{O}(\log N s^2 \kappa^2 / \epsilon)$$

計算量オーダーの罠

- O 記法で小さい計算量オーダーのアルゴリズムが見つかったからといって、それが実用上高速であるとは限らない。
- Q: $n \times n$ の2つの行列の積の計算を
 $O(n^{2.3728596})$
で実行できるアルゴリズム [arXiv: 2010.05846] が知られているが、使われていない。なぜ？
- 実用的には O 記法で隠れてしまう定数係数が非常に重要。
- 量子コンピュータでは？
- **量子コンピュータのクロック**
<<<< 古典コンピュータのクロック
- 量子コンピュータが実用的な計算ができるかは定数係数まで考える必要あり。



量子コンピュータの制御は古典コンピュータで行う。

量子コンピュータの応用先

➤ 量子コンピュータが古典に対して優位性を持つ代表的な応用先/アルゴリズムは、次の4つ。

- 量子力学のシミュレーション
- 素因数分解
- データベース探索/組み合わせ最適化
- 行列計算

量子シミュレーション on 量子コンピュータ

物質シミュレーションの重要性

- ハーバーボッシュ法 = 高温・高圧でアンモニアを合成する手法
- アンモニアの8割は化学肥料へ。「**空気からパンを作る**」手法
- アンモニアの合成に全世界の **1～2% のエネルギー** を消費している
(イギリス1国のエネルギー消費に相当)

物質シミュレーションの重要性 (2)

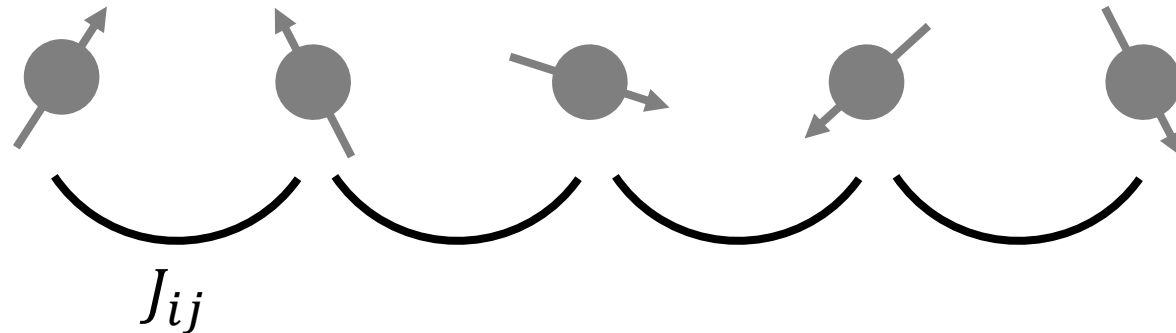
- マメ科の根の窒素固定酵素 FeMocoは常温・常圧で空気中の窒素を集める。
- FeMocoの原理を量子コンピュータを使って解析 → 大量合成に耐えられる触媒を設計できるかも？

ハイゼンベルグ模型のエネルギースペクトル

- 簡単な例として、 n 個のスピン $S=1/2$ ハイゼンベルグ模型を考える。

$$H = \sum_{i,j} J_{ij} (X_i X_j + Y_i Y_j + Z_i Z_j)$$

- H のエネルギースペクトルを知りたい。
- 古典コンピュータで計算するなら、 $2^n \times 2^n$ 行列の対角化が必要となる。



時間発展からエネルギースペクトルを知る

➤ H の固有値・固有ベクトルをそれぞれ $E_i, |E_i\rangle$ とする。

➤ アルゴリズム：

1. 適当な初期状態 $|\psi(0)\rangle$ を決める。

$$|\psi_0\rangle = \sum_i a_i |E_i\rangle$$

2. e^{-iHt} を作用させる。

$$|\psi(t)\rangle = e^{-iHt} |\psi(0)\rangle$$

古典コンピュータでは
 $O(2^n)$ 時間かかる

3. 内積 $g(t) = \langle \psi(t) | \psi(0) \rangle$ を評価する。

4. $g(t)$ をフーリエ変換する。

5. ピークを読み取る。

演習(レポート)： $g(t) = \sum_i |a_i|^2 e^{iE_i t}$ となることを示してください。

量子シミュレーションのための量子回路

➤ e^{iHt} を実行できる量子回路を作りたい。

➤ トロッター展開

$$e^{(A+B)t} \approx (e^{At/m} e^{Bt/m})^m$$

により簡単なユニタリーに分解する。

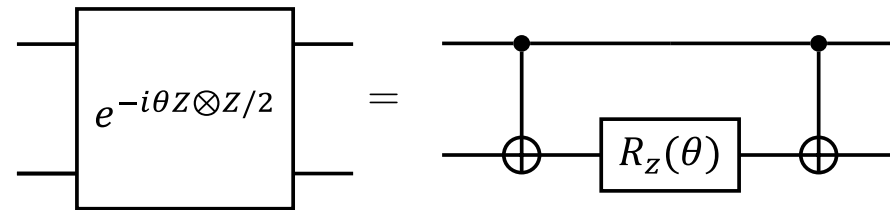
➤ H は XX, YY, ZZ の和だったので、

$$e^{iX \otimes X \Delta t}, e^{iY \otimes Y \Delta t}, e^{iZ \otimes Z \Delta t}$$

を作れば OK.

➤ 有用な公式：

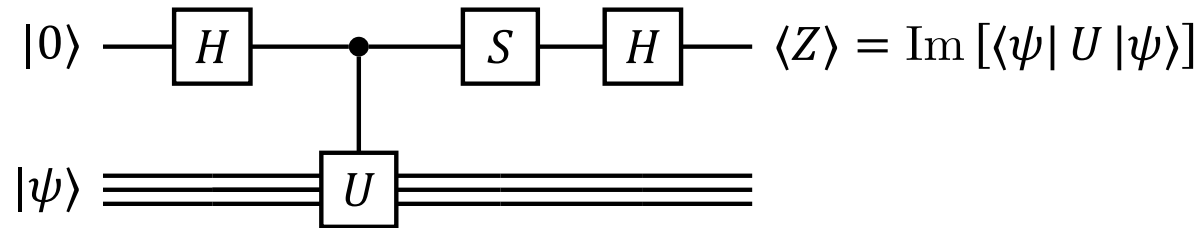
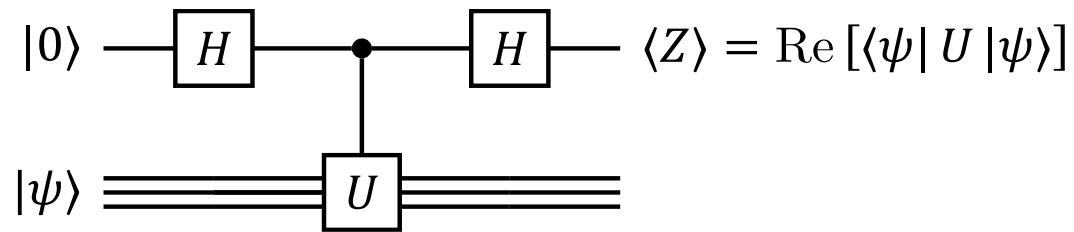
$$\text{CNOT}(I \otimes Z)\text{CNOT} = Z \otimes Z$$



演習： $\text{CNOT}(I \otimes Z)\text{CNOT} = Z \otimes Z$ を示してください。また、 $e^{i\theta X \otimes X}, e^{i\theta Y \otimes Y}$ を実現する量子回路を書いてください。

内積を計算する量子回路

- $\langle \psi(t) | \psi(0) \rangle = \langle \psi(0) | e^{iHt} | \psi(0) \rangle$ のような内積の計算には、**アダマールテスト**と呼ばれる量子回路が使える。



演習：上記の回路の出力が $\langle Z \rangle = \text{Re}[\langle \psi | U | \psi \rangle]$ になることを示してください。

制御 U ゲートは、制御ビットの位相に固有値の情報を書き込む。

時間発展からエネルギースペクトルを知る

➤ アルゴリズム：

1. 適当な初期状態 $|\psi(0)\rangle$ を決める。

2. e^{-iHt} を作用させる。

$$|\psi(t)\rangle = e^{-iHt}|\psi(0)\rangle$$

} 量子コンピュータなら $\text{poly } n$

3. 内積 $g(t) = \langle \psi(t) | \psi(0) \rangle$ for $0 \leq t \leq T$ を評価する。

4. $g(t)$ をフーリエ変換する。→ 古典コンピュータ上で。FFT はデータ点数 M に対して $\text{poly } M$ 。

5. ピークを読み取る。

➤ フーリエ変換のピークの幅は一般に $1/T$

→ エネルギーの推定誤差を ϵ にしたければ、 $T = O(1/\epsilon)$ と取ればよい。

時間発展からエネルギースペクトルを知る

➤ アルゴリズム：

1. 適当な初期状態 $|\psi(0)\rangle$ を決める。

2. e^{-iHt} を作用させる。

$$|\psi(t)\rangle = e^{-iHt}|\psi(0)\rangle$$

} 量子コンピュータなら $\text{poly } n$

3. 内積 $g(t) = \langle \psi(t) | \psi(0) \rangle$ for $0 \leq t \leq T$ を評価する。

4. $g(t)$ をフーリエ変換する。 → 古典コンピュータ上で。FFT はデータ点数 M に対して $\text{poly } M$ 。

5. ピークを読み取る。

➤ フーリエ変換も量子でできないか？

量子フーリエ変換と 量子位相推定アルゴリズム

量子フーリエ変換

- データ $\{x_k\}$ の離散フーリエ変換 $\{y_k\}$ は以下のように定義される。

$$y_k = \frac{1}{\sqrt{N}} \sum_{j=0}^{N-1} e^{i2\pi kj/N} x_j$$

- 量子状態の振幅にデータを書き込むことを考え、

$$|x\rangle = \sum_{j=0}^{N-1} x_j |j\rangle$$

※ j, k は $j_n \cdots j_2 j_1, k_n \cdots k_2 k_1$ というビット列 (2進整数)

$$|y\rangle = \sum_{k=0}^{N-1} y_k |k\rangle = \sum_{k=0}^{N-1} \sum_{j=0}^{N-1} e^{i2\pi kj/N} x_j |k\rangle$$

※ $N = 2^n$

を定義する。

- $|x\rangle \rightarrow |y\rangle$ の変換には、

$$U|j\rangle = \sum_{k=0}^{N-1} e^{i2\pi kj/N} |k\rangle$$

という変換が実現できれば良い。

量子フーリエ変換の量子回路に向けて

- $U|j\rangle = \frac{1}{\sqrt{N}} \sum_{k=0}^{N-1} e^{i2\pi kj/N} |k\rangle$ という変換の右辺は、要するに
「周波数 j/N で振動する波を、2進整数 $k = k_n \cdots k_2 k_1$ 上に準備しなさい」
ということ。
- 最下位ビット k_1 が $0 \rightarrow 1$ になったら、整数 k としては1進むので、位相は $e^{i2\pi j/N}$ 進める。
- 2番目のビット k_2 が $0 \rightarrow 1$ になったら、整数 k としては2進むので、位相は $e^{i4\pi j/N}$ 進める。
- 3番目のビット k_3 が $0 \rightarrow 1$ になったら、整数 k としては4進むので、位相は $e^{i8\pi j/N}$ 進める。
- ...
- 最上位ビットが k_n が $0 \rightarrow 1$ になったら、整数 k としては 2^{n-1} 進むので、位相は $e^{i2^n \pi j/N}$ 進める。
- つまり

$$\sum_{k=0}^{N-1} e^{i2\pi kj/N} |k\rangle = (|0\rangle + e^{i2^n \pi j/N} |1\rangle) \cdots (|0\rangle + e^{i4\pi j/N} |1\rangle) (|0\rangle + e^{i2\pi j/N} |1\rangle)$$

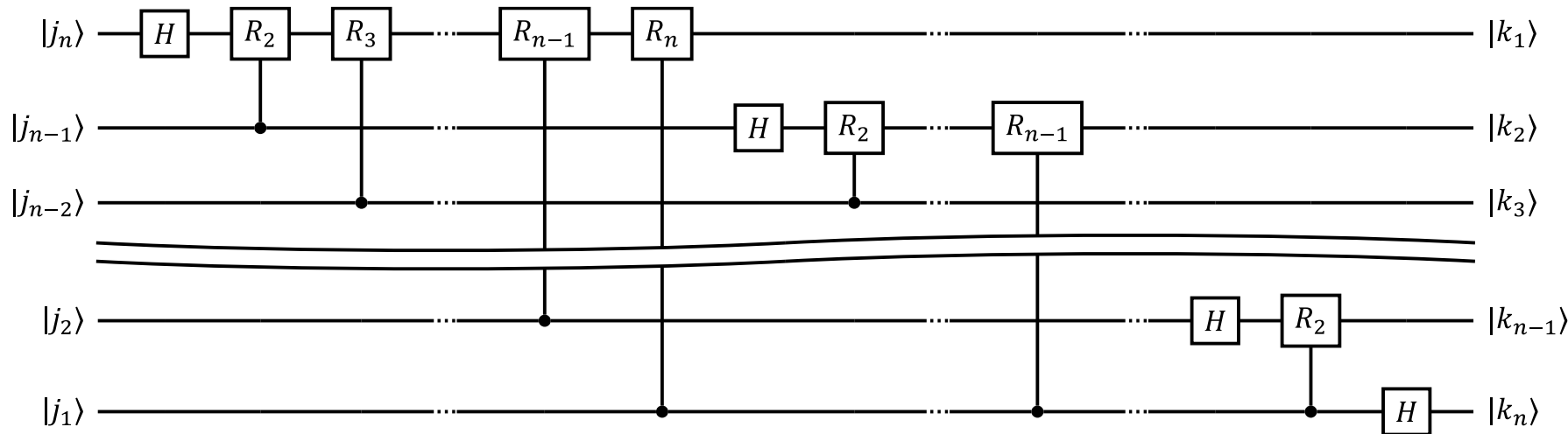
量子フーリエ変換の量子回路

➤ $j/N = j/2^n = 0.j_n j_{n-1} \cdots j_2 j_1$ (2進小数表示) であることを使うと

$$\sum_{k=0}^{N-1} e^{i2\pi k j/N} |k\rangle$$

$$= (|0\rangle + e^{i2\pi 0.j_1} |1\rangle)(|0\rangle + e^{i2\pi 0.j_1 j_2} |1\rangle) \cdots (|0\rangle + e^{i2\pi 0.j_{n-1} \cdots j_2 j_1} |1\rangle)(|0\rangle + e^{i2\pi 0.j_n \cdots j_2 j_1} |1\rangle)$$

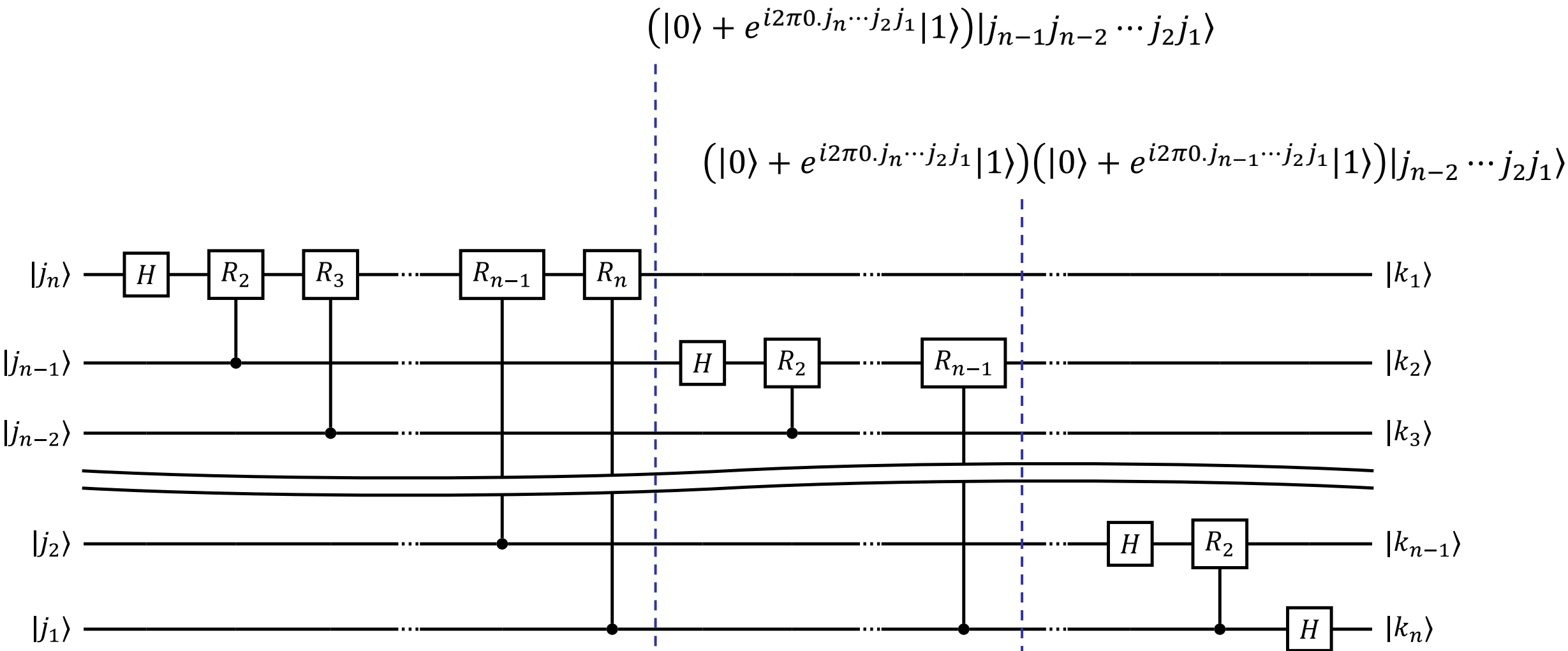
➤ この表現をもとに、 $U|j\rangle = \frac{1}{\sqrt{N}} \sum_{k=0}^{N-1} e^{i2\pi k j/N} |k\rangle$ を実現するのが以下の回路。



$$\otimes R_k = \begin{pmatrix} 1 & 0 \\ 0 & e^{i2\pi/2^k} \end{pmatrix}$$

$O(n^2) = O((\log N)^2)$ でフーリエ変換を実現！ (古典 FFT は $O(N \log N)$)

量子フーリエ変換の量子回路



量子位相推定アルゴリズム

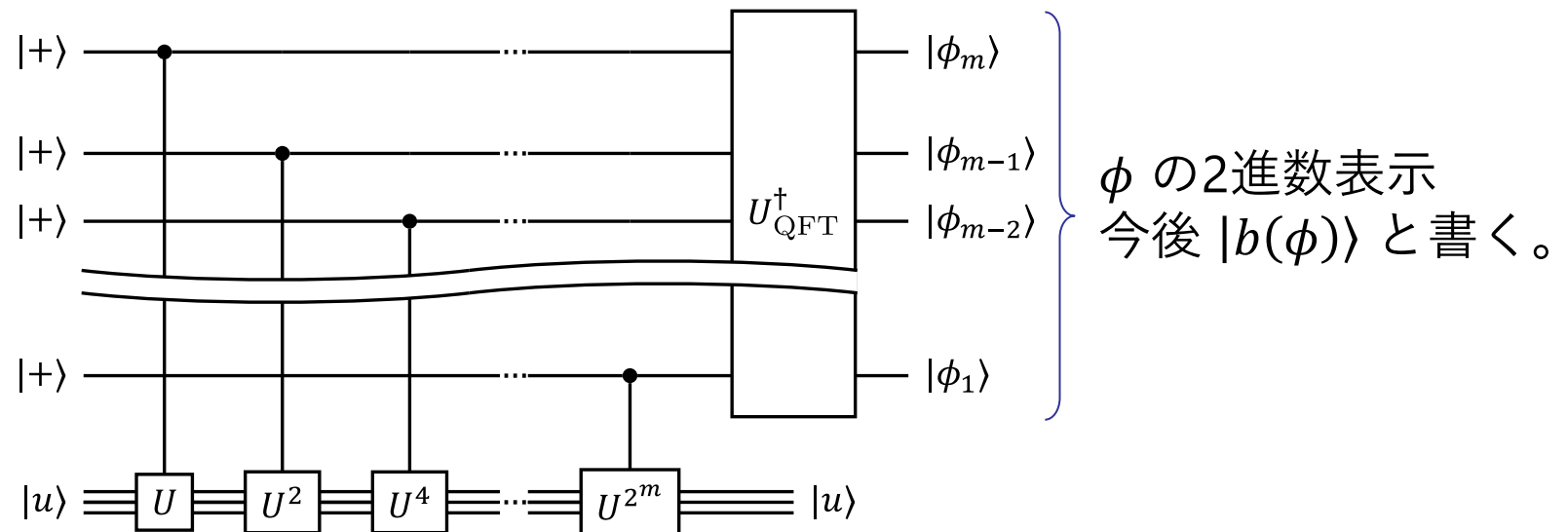
➤ ユニタリー U の固有値・固有ベクトルを $e^{i2\pi\phi} = e^{i2\pi 0.\phi_m \cdots \phi_2 \phi_1} \cdot |u\rangle$ とする。

演習：以下の回路の動作を計算してください。

$$\frac{1}{\sqrt{2}} (|0\rangle + |1\rangle) \text{ --- } \bullet \text{ --- } \frac{1}{\sqrt{2}} (|0\rangle + e^{i2\pi 0.\phi_{n-k} \cdots \phi_2 \phi_1} |1\rangle)$$

$$|\phi\rangle \equiv \boxed{U^{2^k}} \equiv |\phi\rangle$$

➤ 量子位相推定アルゴリズム



➤ 量子でフーリエ変換まで完結できた！

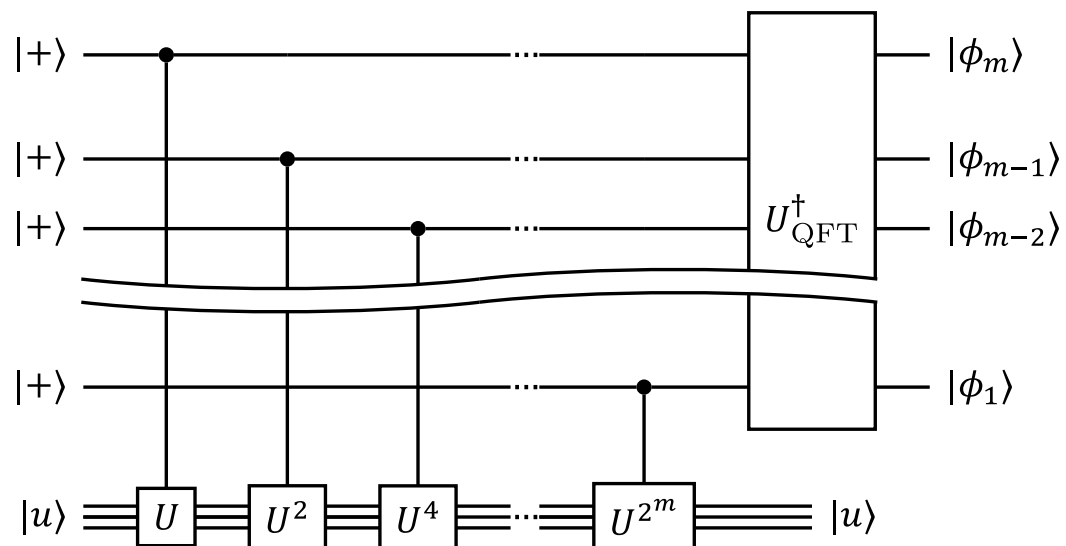
量子位相推定アルゴリズムの性質

- 入力固有ベクトル $|u_i\rangle$ (固有値 $e^{i2\pi\phi_i}$) の重ね合わせ状態 $|\psi\rangle = \sum_i a_i |u_i\rangle$ のとき、出力は

$$\sum_i a_i |u_i\rangle |b(\phi_i)\rangle$$

となる。

- $|b(\phi)\rangle$ のレジスタを測定すると、 $|a_i|^2$ の確率で ϕ_i の2進表現が得られる。
- ϕ_i が測定されたとき、 $|\psi\rangle$ は $|u_i\rangle$ に射影される。



量子シミュレーションへの応用

- ハミルトニアン H の固有値 E_i ・固有ベクトル $|E_i\rangle$ を知りたい。
- $e^{i2\pi H}$ の位相推定を、入力 $|\psi\rangle = \sum_i a_i |E_i\rangle$ に対して行えば、出力は

$$\sum_i a_i |E_i\rangle |b(E_i)\rangle$$

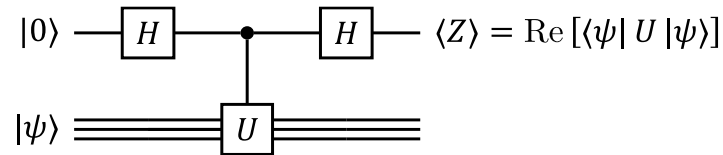
となる。

- $|b(E_i)\rangle$ のレジスタを測定すると、 $|a_i|^2$ の確率で E_i の2進表現が得られる。
- E_i が測定されたとき、 $|\psi\rangle$ は $|E_i\rangle$ に射影される。

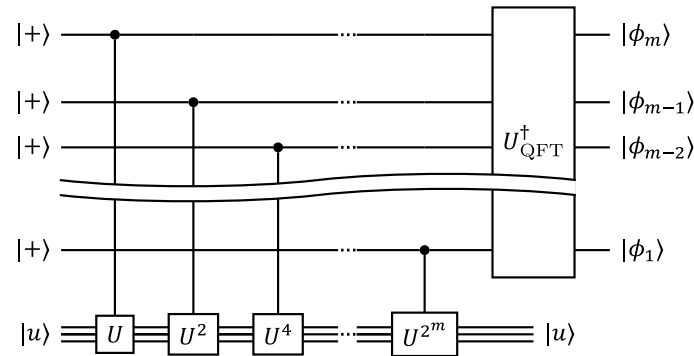
位相推定によって、 $E_i, |E_i\rangle$ をサンプリングできる。

いったんまとめ

- 量子コンピュータは、 Trotter展開によって時間発展演算子 e^{iHt} を作用させられる。
- アダマルテストは、状態間の内積を計算するための量子回路。



- 量子フーリエ変換を使って、固有値・固有ベクトルをサンプリングできるのが、量子位相推定。



- 応用先として、ハミルトニアン H の固有値計算が考えられる。

演習(レポート)：位相推定による固有値推定において、 U を使う回数と推定精度はどのような関係になっているのでしょうか？

量子コンピュータの応用先

- 量子コンピュータが古典に対して優位性を持つ代表的な応用先/アルゴリズムは、次の4つ。
 - 量子力学のシミュレーション
 - 素因数分解
 - データベース探索/組み合わせ最適化
 - 行列計算

Shor の素因数分解アルゴリズム

素因数分解 → 位数計算

- 整数 M の素因数分解をしたい。
- この問題は、ランダムに選んだ整数 $a < M$ に対して、
$$a^r \equiv 1 \pmod{M}$$
となる整数 r (位数) を計算できれば解ける。

簡単な説明：

- r が偶数なら、上の式は

$$(a^{r/2} + 1)(a^{r/2} - 1) \equiv 0 \pmod{M}$$

を導く。

- このとき $a^{r/2} + 1$ と $a^{r/2} - 1$ のどちらかは、 M と同じ約数を持つはず。
- $a^{r/2} + 1$ と M の最大公約数、 $a^{r/2} - 1$ と M の最大公約数を計算すれば、 M の約数が求まる。
- 最大公約数の計算はユークリッドの互除法によって $(\log M)^2$ 時間で可能。
- (天下りですが) ランダムに持ってきた a について r が偶数である確率は $O(1)$ 。

位数計算のアルゴリズム

- $U_a|x\rangle = |xa \bmod M\rangle$ となるような演算 U_a を考える。
 - これは単なる古典計算なので、トフォリゲートの組み合わせで実装可能
- U_a の固有値は $u_s = e^{i2\pi s/r}$ (s : 整数, $0 \leq s \leq r-1$)。対応する固有ベクトル u_s は
$$|u_s\rangle = \frac{1}{\sqrt{r}} (|1\rangle + u_s|a\rangle + u_s^2|a^2 \bmod M\rangle + \cdots + u_s^{r-1}|a^{r-1} \bmod M\rangle)$$
- U_a の固有値 u_s を位相推定によって求めれば r が決まる。
- でも $|u_s\rangle$ を準備できないとそれもできない？しかし上の式を見れば明らかに、

$$\sum_{s=0}^{r-1} |u_s\rangle = |1\rangle$$

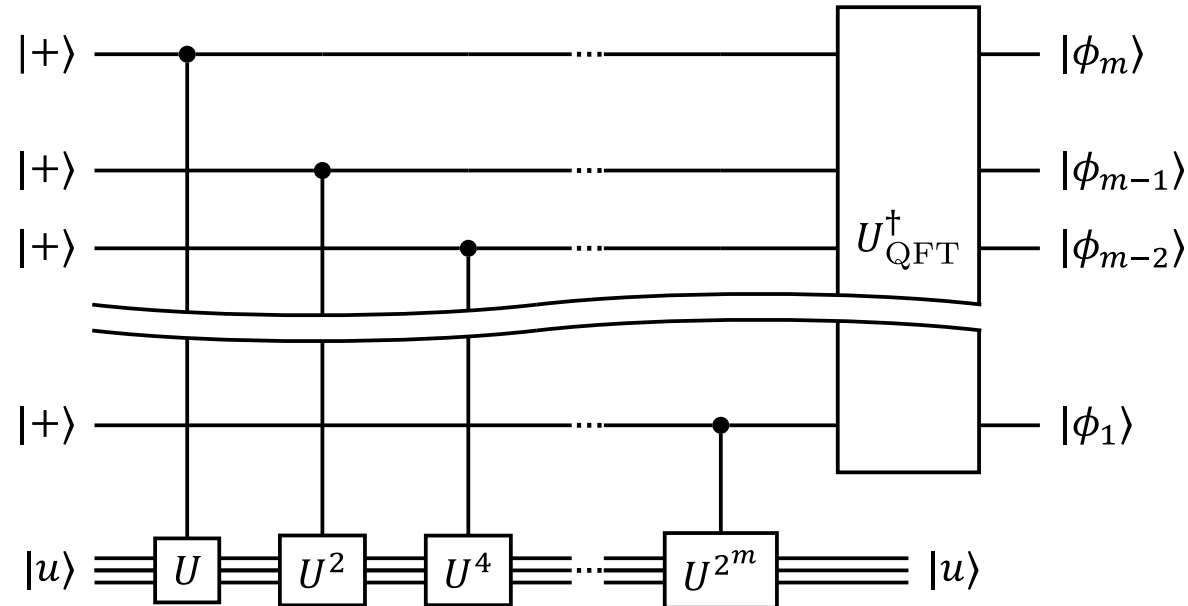
である。

|1⟩ を位相推定に入力すれば、 s/r が求められる！

※ 正確には、 s/r を近似するビット列が出力されるので、連分数展開で求める必要あり。

位相推定アルゴリズム

- m bit の精度の位相推定アルゴリズムには、指数回の演算 (U^{2^m}) が必要？



- $U_a|x\rangle = |xa \bmod M\rangle$ に関しては、 $U_a^{2^m}$ を簡単に作用させることが可能！
- なぜなら $U_a^{2^m}|x\rangle = |xa^{2^m} \bmod M\rangle = U_{a^{2^m} \bmod M}|x\rangle$ だから。先に $a^{2^m} \bmod M$ を古典コンピュータ上で計算して、 $U_{a^{2^m} \bmod M}$ に必要な回路を設計すればよい。
- $a^{2^m} \bmod M$ は、 $a \rightarrow a^2 \rightarrow a^4 \rightarrow \dots \rightarrow a^{2^m}$ と計算すれば $O(m)$ で計算できる。

素因数分解アルゴリズム

タスク： n bit 整数 M の素因数分解

1. 整数 $1 < a < M$ をランダムに選ぶ。
2. 位相推定によって $a^r \equiv 1 \pmod{M}$ となるような整数 r を計算する。
3. r が奇数 $\rightarrow 1$ へ戻る。
 r が偶数 $\rightarrow a^{r/2} - 1 \cdot a^{r/2} + 1$ と M の最大公約数 c を求める。
4. $M = cM'$ と因数分解する。
5. (必要があれば) c, M' をさらに因数分解する

量子コンピュータの応用先

- 量子コンピュータが古典に対して優位性を持つ代表的な応用先/アルゴリズムは、次の4つ。
 - 量子力学のシミュレーション
 - 素因数分解
 - データベース探索/組み合わせ最適化
 - 行列計算

逆行列計算 (HHL アルゴリズム)

逆行列計算

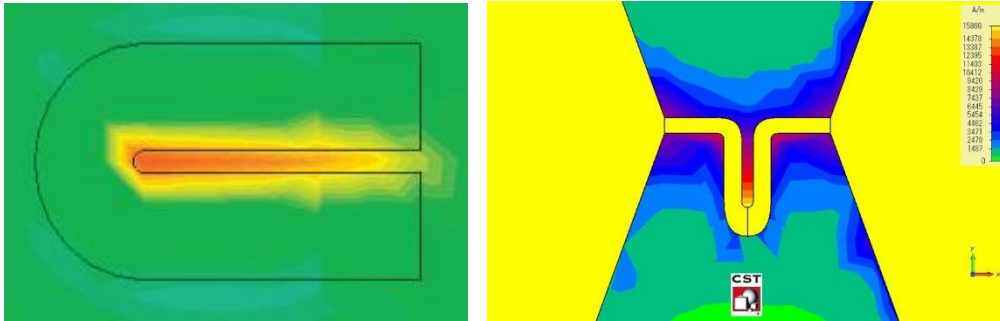
- 次の方程式を解きたい。

$$Ax = b$$

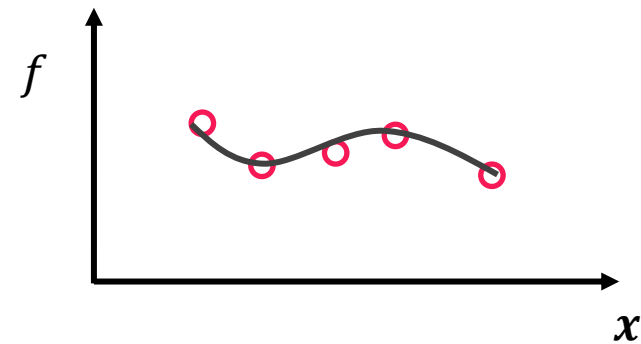
- 解は

$$x = A^{-1}b$$

- 実はこの計算タスクも（ある意味において）量子コンピュータで加速できる。
- 連立方程式は至るところで使われており、応用先は数え切れない。



電磁場のシミュレーション
(微分方程式を有限要素法で解く。)



機械学習

量子で線形方程式を解く

- ベクトルの振幅エンコーディング

$$|\mathbf{b}\rangle = \sum_{j=0}^{N-1} b_j |j\rangle$$

- 量子線形システム問題 (**Quantum linear systems problem**) を次のような計算タスクとして定義。
 - 入力：行列 A と量子状態 $|\mathbf{b}\rangle$
 - 出力：ベクトル $A^{-1}\mathbf{b}$ の振幅エンコーディング $\sum_j (A^{-1}\mathbf{b})_j |j\rangle$
- **HHL (Harrow-Hassidim-Lloyd)** アルゴリズムはこの問題を $\text{poly log } N$ 時間で解く。
- 注意しなければならないこと：
 - ✓ $|\mathbf{b}\rangle = \sum_j b_j |j\rangle$ を準備する方法が自明でない。
 - ✓ 出力が $\sum_j (A^{-1}\mathbf{b})_j |j\rangle$ という量子状態である。
 - ベクトル $A^{-1}\mathbf{b}$ の各成分を読み出すには、結局 $O(N)$ 回の測定が必要になる。

HHL アルゴリズム

1. $|b\rangle = \sum_j b_j |j\rangle$ を準備する。
2. e^{iA} の位相推定を $|b\rangle$ を入力として行う。
 A の固有値を λ_i 対応する固有ベクトルを $|a_i\rangle$ とし、

$$|b\rangle = \sum_i \beta_i |a_i\rangle$$

とするとき、このステップの出力は

$$\sum_i \beta_i |a_i\rangle |b(\lambda_i)\rangle$$

$b(\lambda_i)$ は固有値 λ_i のビット列表現

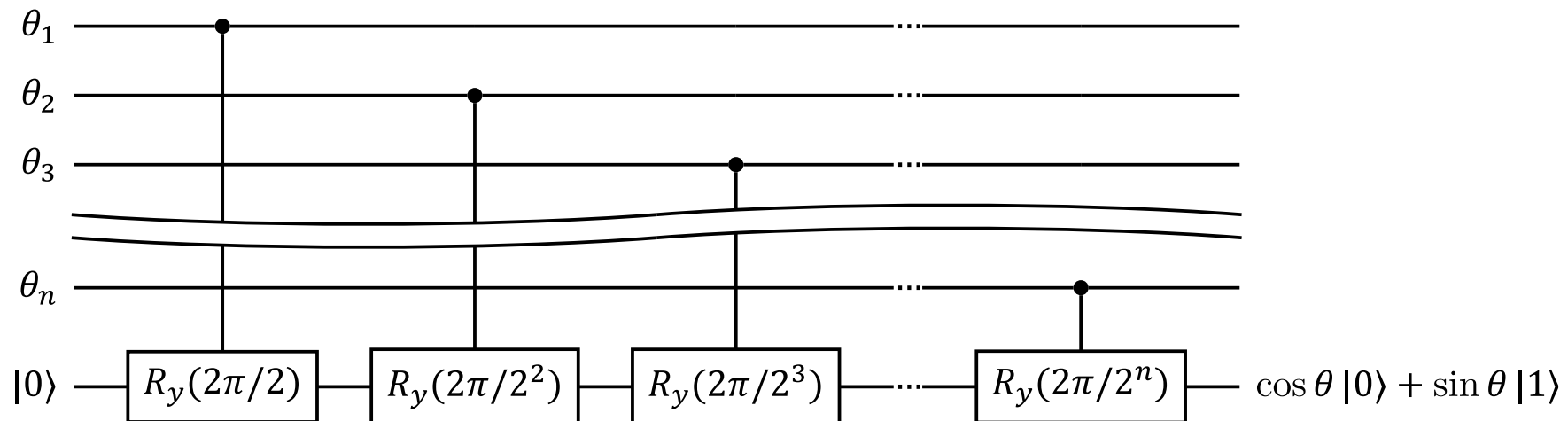
3. $|b(\lambda_i)\rangle$ をもとに、 $|b(\cos^{-1}(C/\lambda_i))\rangle$ を計算する。
トフォリゲートなどを使ったブール関数の計算で計算可能。 C は定数で $C/\lambda < 1$ となるように設定する。
4. 補助量子ビットを一つ足し、制御ゲートによって以下の状態を生成する。(次スライド参照)

$$\sum_i \beta_i |a_i\rangle |b(\lambda_i)\rangle \left(\frac{C}{\lambda_i} |0\rangle + \sqrt{1 - \frac{C^2}{\lambda_i^2}} |1\rangle \right)$$

5. 補助量子ビットを測定して、 $|0\rangle$ が出たら成功。位相推定の逆変換で $|b(\lambda_i)\rangle$ を $|0\rangle$ に戻す。

回転角を振幅へ書き込む

- HHL アルゴリズムのステップ 4 では、ビット列として保存された角度 $\theta = \cos^{-1} C/\lambda$ を補助量子ビットの振幅に書き込む、という操作を行う。
- θ のビット列表現 $b(\theta)$ は、 $\theta = 2\pi \times 0.\theta_1\theta_2 \dots \theta_m$ となるような2進小数 $0.\theta_1\theta_2 \dots \theta_m$ であるとする。
- これは以下の量子回路で実現できる。



演習：この回路が所望の動作をすることを確かめてください。

演習 (レポート)

1. HHL アルゴリズムに現れる状態

$$\sum_i \beta_i |\mathbf{a}_i\rangle |b(\lambda_i)\rangle \left(\frac{C}{\lambda_i} |0\rangle + \sqrt{1 - \frac{C^2}{\lambda_i^2}} |1\rangle \right)$$

で補助ビットが $|0\rangle$ に測定される確率 p_{accept} を求めてください。

2. $C = \min |\lambda_i|$ と選べたとします。このとき

$$p_{\text{accept}} \geq \left(\frac{\min |\lambda_i|}{\max |\lambda_i|} \right)^2$$

を示してください。

グローバーのアルゴリズム

やりたいこと

- 均等な重ね合わせ状態

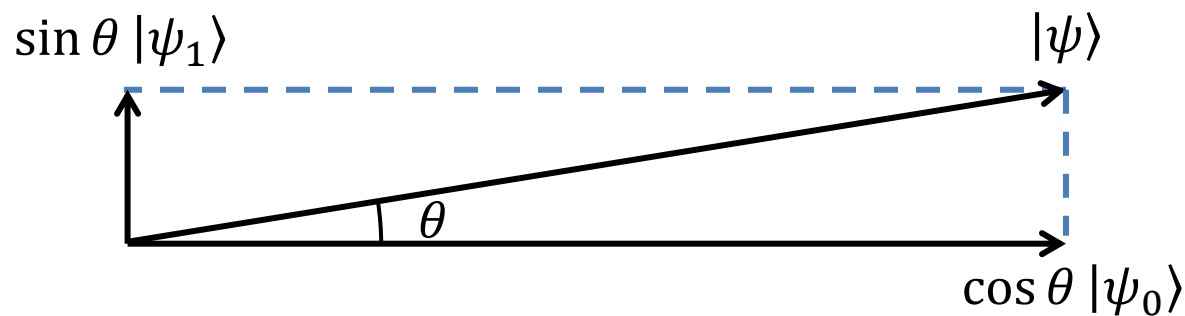
$$|\psi\rangle = \frac{1}{\sqrt{N}} \sum_{k=0}^{N-1} |k\rangle$$

から、適当な条件 $f(k) = 1$ を満たすビット列 k を見つけたい。

- 準備：

$f(k) = 1$ となる部分 $|\psi_1\rangle = C_1 \sum_{f(k)=1} |k\rangle$ と $f(k) = 0$ となる部分 $|\psi_0\rangle = C_0 \sum_{f(k)=0} |k\rangle$ に分ける
 C_1, C_0 は規格化定数。

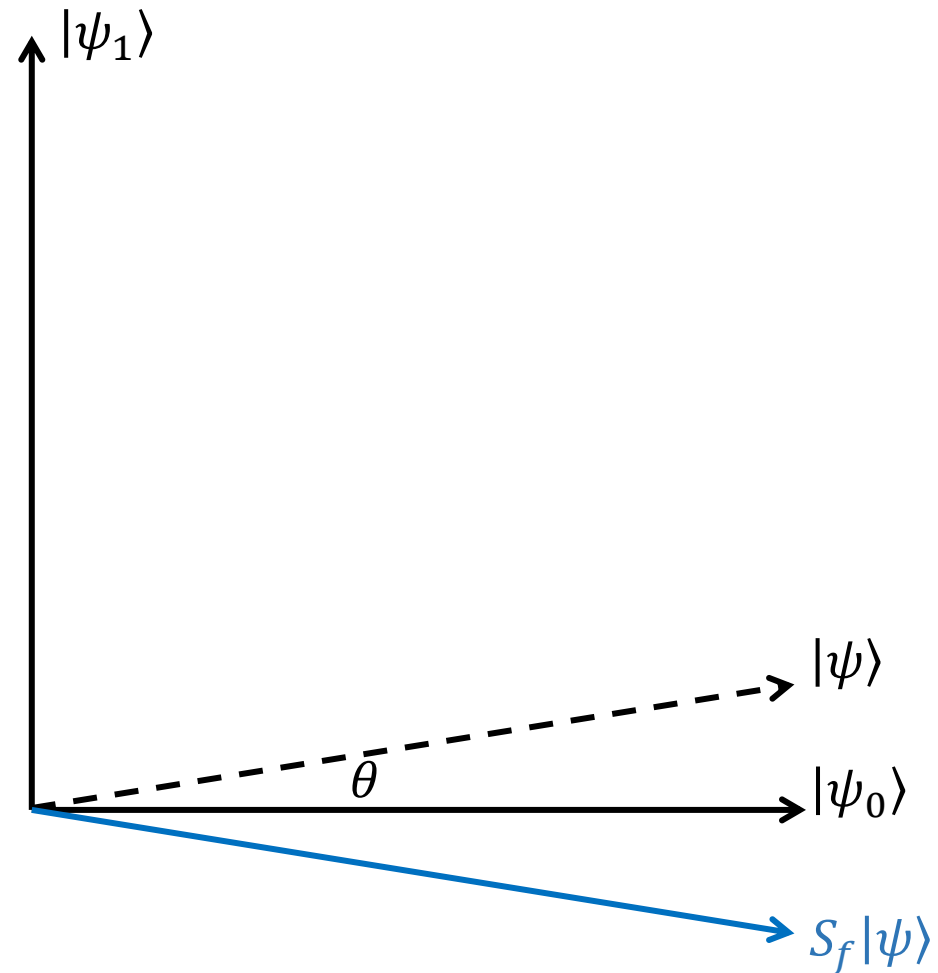
- $|\psi_1\rangle$ の振幅を大きくするようなユニタリ演算子を設計したい！



アルゴリズム

天下りのですが...

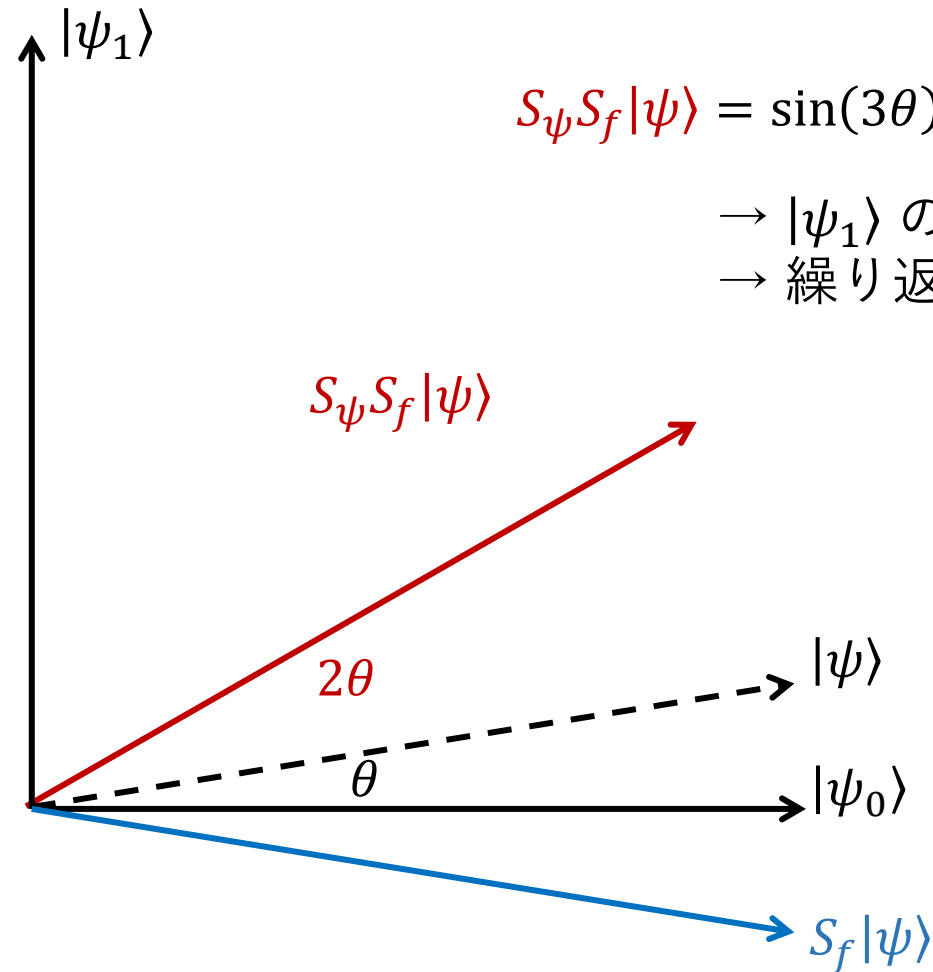
1. $|\psi_0\rangle$ に対する反転演算 $S_f = I - 2|\psi_0\rangle\langle\psi_0|$ を作用させる。



アルゴリズム

天下りのですが...

2. $|\psi\rangle$ に関して反転する。



$$S_p S_f |\psi\rangle = \sin(3\theta) |\psi_1\rangle + \cos(3\theta) |\psi_0\rangle$$

→ $|\psi_1\rangle$ の振幅が大きくなった！

→ 繰り返せば $\theta, 3\theta, 5\theta, \dots$ と大きくなる。

アルゴリズムの計算量

➤ $f(k) = 1$ を満たす k が 1 つしかない状況を考える。

➤ 初期状態 $|\psi\rangle = \frac{1}{\sqrt{N}} \sum_k |k\rangle$ だったので、1 つのビット列の振幅は $1/\sqrt{N}$ 。つまり

$$\sin \theta = \frac{1}{\sqrt{N}} \Rightarrow \theta \approx \frac{1}{\sqrt{N}}$$

➤ m 回の繰り返しで振幅は $\sin(2m+1)\theta$ まで増幅される。

➤ ほぼ確実に目的のビット列を見つけられるためには、 $\sin(2m+1)\theta \approx 1$ となれば良い。つまり

$$(2m+1)\theta \approx \frac{\pi}{2}$$

を満たすように m を見つければ OK。

➤ よって

$$m = O(\sqrt{N})$$

※ 古典計算では $f(k)$ に特段の構造が無い限り総当りを迫られる → 古典計算量 $O(N)$

反転演算の構成

- $|\psi\rangle$ に対する反転演算 S_ψ は

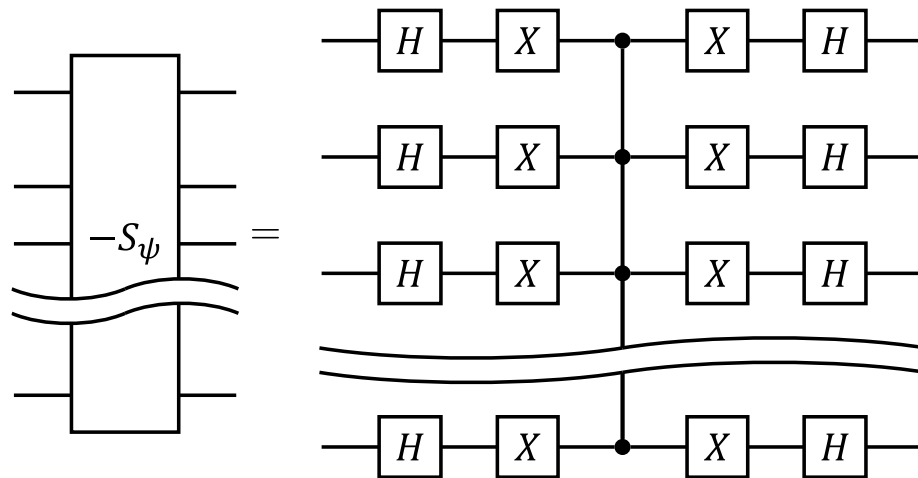
$$S_\psi = 2|\psi\rangle\langle\psi| - I$$

とかける。

- $|\psi\rangle = H^{\otimes n}|0\rangle$ なので、

$$S_\psi = H^{\otimes n}(2|0\rangle\langle 0| - I)H^{\otimes n}$$

- $2|0\rangle\langle 0| - I$ は $|0\rangle$ 以外に対して位相 -1 をつけるゲート。CZ ゲートがすべての量子ビットが 1 のときのみ位相 -1 をつけることを思い出せば、以下の回路で実現できる。



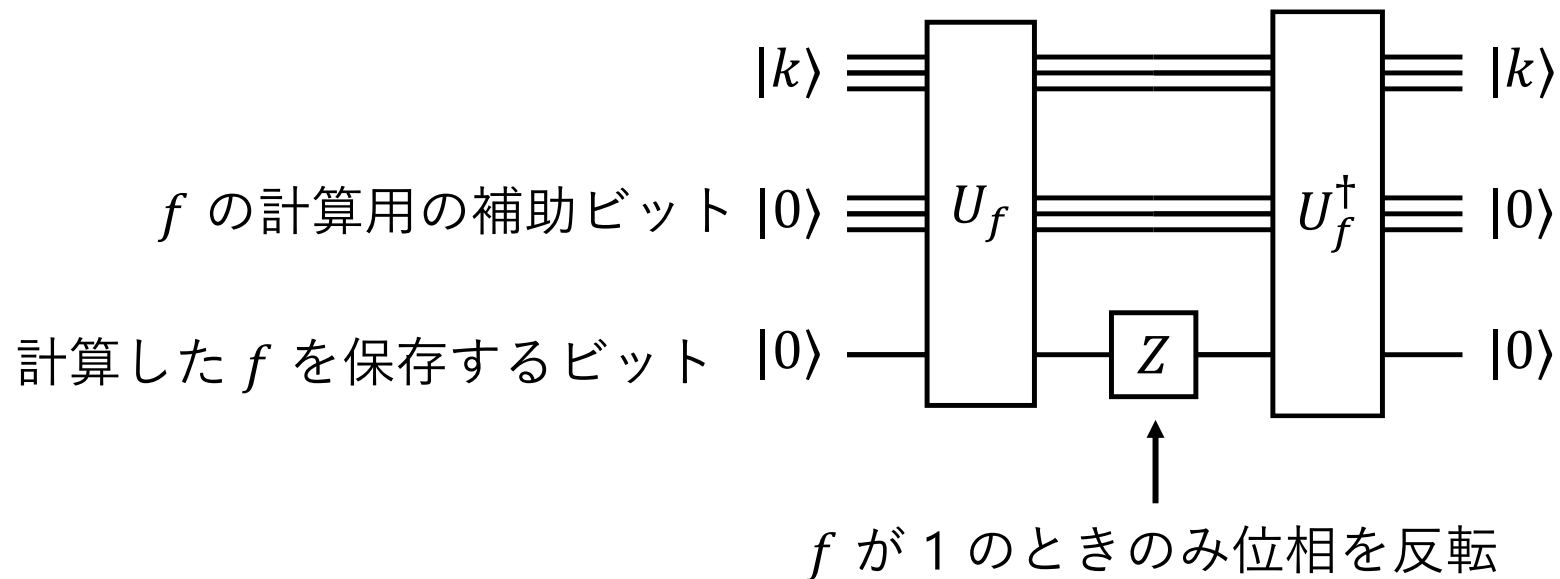
反転演算の構成 (2)

- $|\psi_0\rangle$ に対する反転演算 S_f は

$$S_f|k\rangle = \begin{cases} |k\rangle & \text{if } f(k) = 0 \\ -|k\rangle & \text{if } f(k) = 1 \end{cases}$$

という演算。

- これは次のような回路で可能。
 U_f は f を計算するための古典可逆計算回路。



演習 (1,2 をレポート)

1. 演算子 $G = S_\psi S_f$ を $|\psi_0\rangle, |\psi_1\rangle$ に作用させた結果を計算し、 G の作用は $|\psi_0\rangle, |\psi_1\rangle$ で張られる2次元空間内で閉じていることを示してください。
2. $|\psi_0\rangle, |\psi_1\rangle$ の2次元空間内における、 G の固有値・固有ベクトルを計算してください。
3. **(量子振幅推移アルゴリズム)** $|\psi\rangle = \frac{1}{\sqrt{N}} \sum_k |k\rangle$ を入力状態として、ユニタリー G の位相推定をすると、何が得られるでしょうか？ ($f(k) = 1$ となる k が複数個ある状況を考えます。)

量子アルゴリズムのまとめ

➤ 量子コンピュータが古典に対して優位性を持つ代表的な応用先について説明した。

□ n 個の量子力学的スピン $1/2$ の時間発展 [S. Lloyd, Science, **273**, 1073-1078 (1996)]

$$O(2^n) \rightarrow \text{poly } n$$

□ n bit 整数の素因数分解 [P. W. Shor, Proceedings 35th Annual Symposium on Foundations of Computer Science, 124-134 (1994)]

$$O\left(e^{1.9n^{1/3}(\log n)^{2/3}}\right) \rightarrow O(n^2 \log n \log \log n)$$

□ N 個のデータを持つデータベースの検索 [L. K. Grover, Proceedings, 28th Annual ACM Symposium on the Theory of Computing, 212-219, (1996)]

$$O(N) \rightarrow O(\sqrt{N})$$

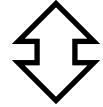
□ N 次元疎行列の逆行列計算 (疎性 s , 条件数 κ , 精度 $1/\epsilon$) [A. Harrow et al., PRL, **103**, 150502 (2009)]

$$O(Ns\sqrt{\kappa} \log 1/\epsilon) \rightarrow \tilde{O}(\log N s^2 \kappa^2 / \epsilon)$$

量子誤り訂正

誤り訂正技術の必要性

現在の量子ビットのエラー率 ~ **0.1%** [Arute et. al., Nature (2019)]



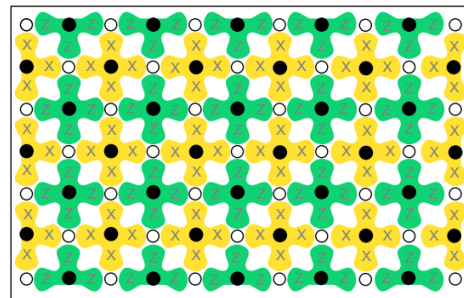
現在の古典ビットのエラー率 ~ **10^{-17} %** [Oliveira et al, SC17 (2017)]

※クロック数からFITをエラー率に換算

「まともな」計算をするには誤り訂正技術が必須

多数決符号 **000** $\xrightarrow{\text{エラーが発生}}$ **010** $\xrightarrow{\text{多数決で正しい状態に戻す}}$ **000**

表面符号



~1000 qubit で 1 qubit を作る

[Phys. Rev. A **86**, 032324 (2012)]

量子ビットに対するノイズ

➤ ビット反転エラー：

ある確率 p で、量子ビットに X ゲートがかかってしまうというノイズモデル。普通古典ビットに対するノイズはこれ。

$$\begin{aligned} |0\rangle &\rightarrow |1\rangle, |1\rangle \rightarrow |0\rangle \\ \alpha|0\rangle + \beta|1\rangle &\rightarrow \beta|0\rangle + \alpha|1\rangle \end{aligned}$$

➤ 位相反転エラー：

ある確率 p で、量子ビットに Z ゲートがかかってしまうというノイズモデル。(古典での対応物はない)

$$\alpha|0\rangle + \beta|1\rangle \rightarrow \alpha|0\rangle - \beta|1\rangle$$

➤ Depolarizing (分極解消) エラー：

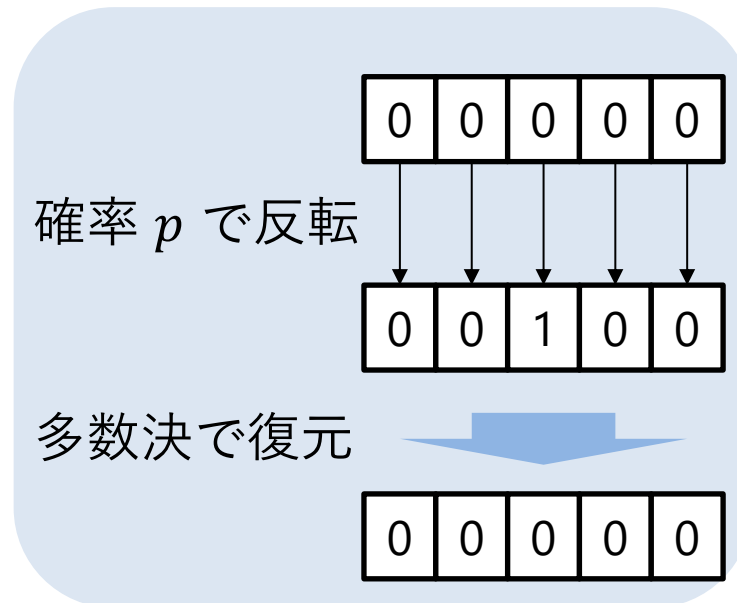
ある確率 p で、量子ビットに X, Y, Z ゲートのどれかがかかってしまうというノイズモデル。

➤ 過回転エラー：

回転ゲートの回転角がずれることによるエラー。

古典誤り訂正：反復符号

- 一定時間経つと、各ビットにビット反転エラーが確率 $p \ll 1$ で起こるようなメモリがあるとする。
- 情報を守るために、0 を 00000 で、1 を 11111 で表すと約束する。(符号化)
- 読みだしたとき、0 or 1 の多い方がもとの情報だったと推定できる。(多数決復号)
 - 2 ビットまでの反転ならもとの情報を復元可能。
 - 3 ビットの反転 (確率 p^3) が起こると復元不可能に。

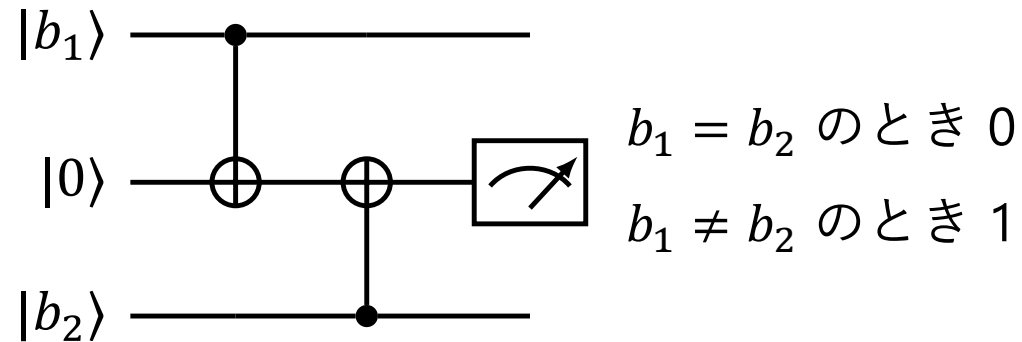


量子で反復符号を作れるか？

- 一定時間経つと、各量子ビットにビット反転エラーが確率 $p \ll 1$ で起こるとする。
- 情報を守るために、 $|0\rangle$ を $|000\rangle$ で、 $|1\rangle$ を $|111\rangle$ で符号化する。
- 量子情報を保護したければ
$$\alpha|000\rangle + \beta|111\rangle$$
という重ね合わせ状態も保護したいはず。
- 多数決を取ろうとして量子ビットを観測すると、重ね合わせ状態は壊れてしまう。
→ **直接的な多数決は不可能。**
- 量子ビットの誤り訂正では、補助ビットを用いて間接的に誤り検出を行う必要あり。

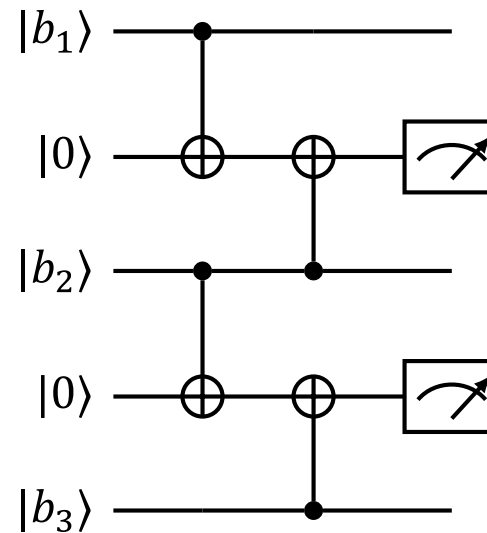
量子反復符号のエラー検出

- $|0\rangle$ を $|000\rangle$ で、 $|1\rangle$ を $|111\rangle$ で表すと約束する。
- エラー検出を、「隣り合うビット同士が同じか違うか (パリティチェック)」で行う。
- 2 ビットのパリティを測定するには以下のような回路が使える。



量子反復符号のエラー検出

- パリティチェックによって、3 bit 反復符号のエラー検出をする回路：



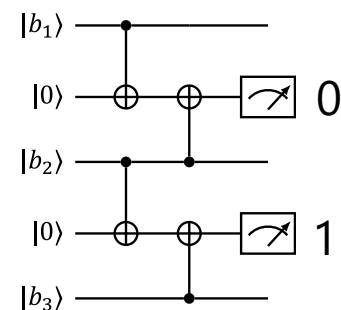
※ 測定結果をシンδροームと呼ぶ

- $|000\rangle$ か $|111\rangle$ しか含まれていないはずなので、エラーが無いときは補助ビットは2つとも0

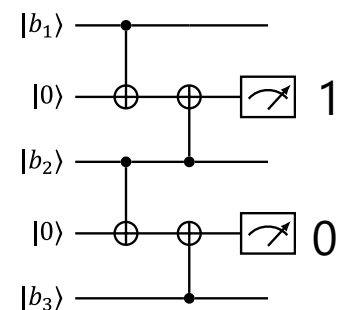
演習： $|b_1\rangle, |b_2\rangle, |b_3\rangle$ の量子ビットに $\alpha|000\rangle + \beta|111\rangle$ を入力したとき、上記の測定はこの状態を壊さないことを示してください。

量子反復符号のエラー検出

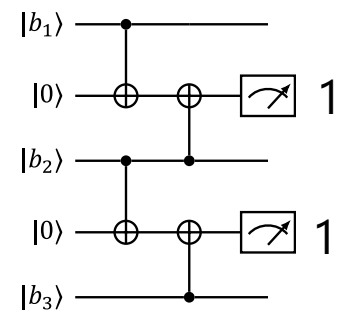
➤ 残りの 3 パターンを考えると...



- ~~b_1, b_2 に同時にエラーが起きた? (確率 p^2)~~
- b_3 にエラーが起きた。 (確率 p)



- ~~b_2, b_3 に同時にエラーが起きた? (確率 p^2)~~
- b_1 にエラーが起きた。 (確率 p)

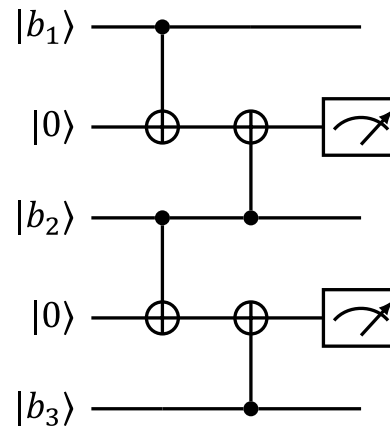


- ~~b_1, b_3 に同時にエラーが起きた? (確率 p^2)~~
- b_2 にエラーが起きた。 (確率 p)

誤り検出・訂正可能

回転エラーも訂正可能

- 量子状態は連続的なものなので、 $\alpha|000\rangle + \beta|111\rangle$ に対して作用するエラーは、
$$\alpha|000\rangle + \beta|111\rangle \rightarrow \alpha|100\rangle + \beta|011\rangle$$
のような離散的なものだけではない。
- より一般に 1 番目の量子ビットを角度 θ だけ回転させてしまうエラー
$$\alpha|000\rangle + \beta|111\rangle \rightarrow \alpha(\cos \theta |0\rangle + i \sin \theta |1\rangle)|00\rangle + \beta(i \sin \theta |0\rangle + \cos \theta |1\rangle)|11\rangle$$
も起きうる。
- **しかし実はこのエラーも反復符号で訂正可能。**

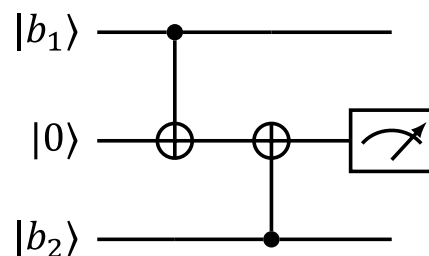


測定時に訂正可能な状態へ射影される。

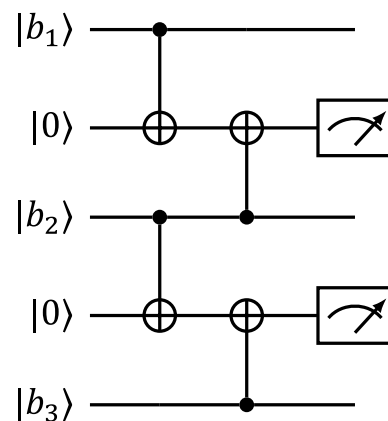
演習： $|b_1\rangle, |b_2\rangle, |b_3\rangle$ の量子ビットに $\alpha(\cos \theta |0\rangle + i \sin \theta |1\rangle)|00\rangle + \beta(i \sin \theta |0\rangle + \cos \theta |1\rangle)|11\rangle$ を入力したとき、あり得るシンドローム測定結果と、対応する測定後の状態を書き下してください。

パリティチェックと同値なオブザーバブル

- パリティチェックの測定は、 Z_1Z_2 というオブザーバブルを射影測定していることに等しい。

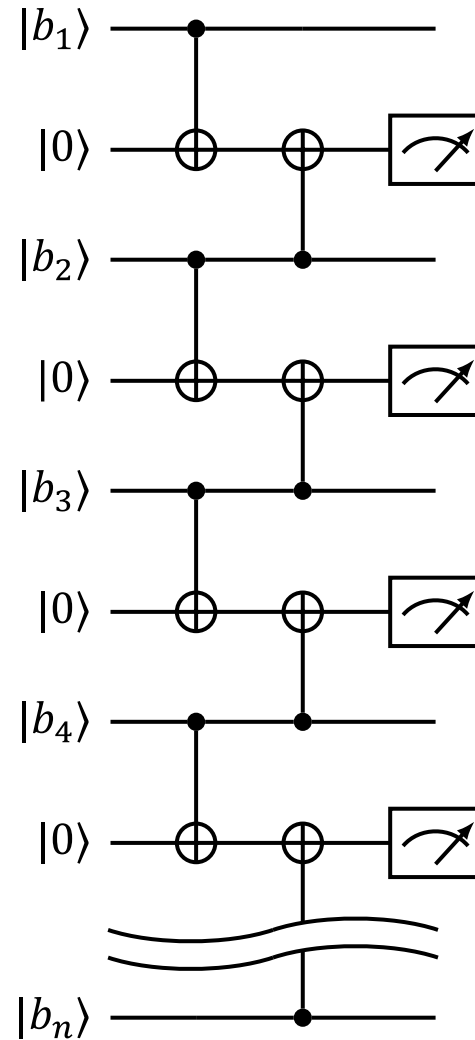


- Z_1Z_2 は $b_1 = b_2$ のとき+1, $b_1 \neq b_2$ のとき-1 となるオブザーバブルだから。
- 3 量子ビットの反復符号のシンδροーム測定は、 Z_1Z_2 と Z_2Z_3 を射影測定していることに等しい。



後々便利な考え方です

n ビットの量子反復符号のエラー検出



反復符号における論理ゲート

- 符号化によって守られた量子状態に対して、その符号空間内のみで作用する演算子を**論理演算子/論理ゲート**と呼ぶ。
- $|0\rangle_L = |000\rangle$ と $|1\rangle_L = |111\rangle$ の空間だけに作用する論理ゲートは？
 - 論理 X 演算子： $X_L = X_1 X_2 X_3$
$$X_L |0\rangle_L = |1\rangle_L$$
 - 論理 Z 演算子： $Z_L = Z_1 Z_2 Z_3$
$$Z_L |1\rangle_L = -|1\rangle_L$$

※ $Z_L = Z_1, Z_2, Z_3$ としても、 Z_L としての機能は満たせる。
- 他の論理演算子は、 X_L と Z_L から作り出せば良い。

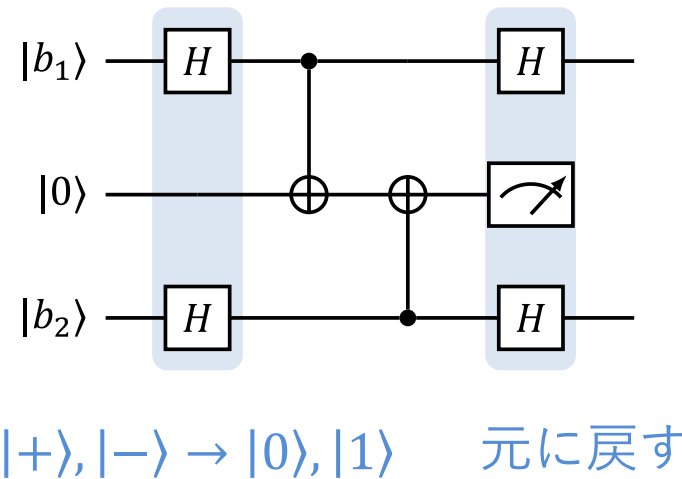
位相反転エラーも考える

- 一定時間経つと、各量子ビットにビット反転エラーが確率 $p \ll 1$ で起こるとする。
- $|0\rangle$ を $|000\rangle$ で、 $|1\rangle$ を $|111\rangle$ で符号化することで、ビット反転エラーは訂正可能。
- しかし現実にはビット反転だけでなく、位相反転も起こる。
- アイデア：
 $|0\rangle, |1\rangle$ 基底の反復符号でビット反転エラーから守った論理量子ビットを、さらに位相反転エラーに対応できるような反復符号にする。

演習： $|0\rangle_L = |000\rangle, |1\rangle_L = |111\rangle$ としたとき、1つの物理量子ビットの位相反転エラーは、論理量子ビットの位相反転エラーと等価であることを示してください。

位相反転エラーに対する反復符号

- 位相反転エラーは、 $|+\rangle, |-\rangle$ 基底でみるとビット反転エラーと等価。
- よって $|+\rangle, |-\rangle$ 基底で反復符号を構成すれば誤り検出・訂正できる。
- $|0\rangle_L = |+++ \rangle, |1\rangle_L = |-- - \rangle$ を使う。
- $|+\rangle, |-\rangle$ 基底でのパリティチェック回路



- X_1X_2 と X_2X_3 の射影測定をしていることに等しい。

Shor の 9 qubit code

- ビット反転エラーを訂正できる反復符号を構成する。

$$|0\rangle_{L'} = |000\rangle, |1\rangle_{L'} = |111\rangle$$

この時点では、1つの物理量子ビットに対する位相反転エラー = 論理量子ビットに対する位相反転エラーとなり、位相反転エラーの訂正は不可。

- $|0\rangle_{L'}$ を 3 つ使って、位相反転エラーを訂正できる反復符号を構成する。

$$|0\rangle_L = |+\rangle_{L'}|+\rangle_{L'}|+\rangle_{L'}, |1\rangle_L = |-\rangle_{L'}|-\rangle_{L'}|-\rangle_{L'}$$

各 $|+\rangle_L$ に対する位相反転エラーが訂正可能に。

- できあがった論理ビットは

$$|0\rangle_L = \frac{1}{2\sqrt{2}} (|000\rangle + |111\rangle)^{\otimes 3}$$
$$|1\rangle_L = \frac{1}{2\sqrt{2}} (|000\rangle - |111\rangle)^{\otimes 3}$$

- ビット/位相反転エラーのどちらにも対応できる。

Shor の 9 qubit code のシンドローム測定

- $|0\rangle_{L'} = |000\rangle, |1\rangle_{L'} = |111\rangle$ の誤り検出には、 Z_1Z_2, Z_2Z_3 を測定すれば OK.
- $|0\rangle_L = |+++ \rangle_{L'}, |1\rangle_L = |-- - \rangle_{L'}$ の誤り検出には、 $X_{L'} \otimes X_{L'} \otimes I, I \otimes X_{L'} \otimes X_{L'}$ を測定する。
- $X_{L'} = X_1X_2X_3$ とかけていたので、9 qubit code で測定すべき演算子は、以下の 8 個の演算子。

ZZIIIIII
IZZIIIIII
IIIZZIIII
IIIIZZIIII
IIIIIIZZI
IIIIIIIZZ
XXXXXXIII
IIIXXXXXX

演習：1つの補助ビットを使って、6 量子ビットの演算子 $X^{\otimes 6}$ を測定する回路を書いてください。

ビット/位相反転耐性 → 任意の1 qubit エラー耐性

- $iXZ = -iZX = Y$ なので、ビット反転 + 位相反転への耐性があれば Y エラーにも耐性。
- 先述の議論により、1 qubit の微妙な回転でも訂正可能。

➤ **Shor 9 qubit code**

$$|0\rangle_L = \frac{1}{2\sqrt{2}} (|000\rangle + |111\rangle)^{\otimes 3}$$
$$|1\rangle_L = \frac{1}{2\sqrt{2}} (|000\rangle - |111\rangle)^{\otimes 3}$$

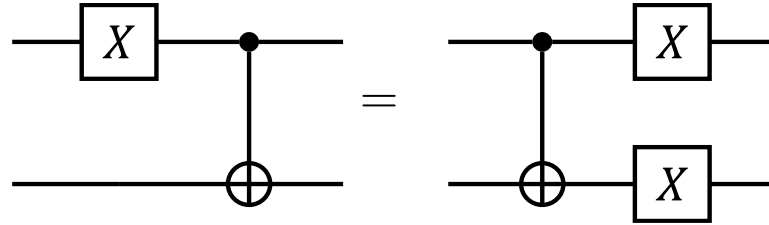
は任意の 1 qubit エラーの訂正が可能。

誤り耐性量子計算

- 1 qubit のエラーに耐性を持つ符号を構成することができた。
- 誤り耐性を持つ論理量子ビット $|0\rangle_L, |1\rangle_L$ によって量子計算 (**誤り耐性量子計算**) をしたい。
- 誤り耐性量子計算に必要な条件：
 - ✓ 論理ゲート $\alpha|0\rangle_L + \beta|1\rangle_L \rightarrow \alpha'|0\rangle_L + \beta'|1\rangle_L$ をかけたとき、訂正可能なエラーしか発生しない。
 - ✓ シンドローム測定するとき、訂正可能なエラーしか発生しない。
- Shor の 9 qubit code の論理ゲート：
 - 論理 X : すべての qubit に Z をかける。 (**transversal**)
 - 論理 Z : すべての qubit に X をかける。
 - 論理 H : ~~すべての qubit に H をかける~~ これではできない。 → 2 qubit エラーが不可避...

エラーの伝搬

- 回路中に 2 qubit ゲートが存在すると、エラーが拡散する。



- 論理演算やシンドローム測定に 2 qubit ゲートを使いすぎると、エラーの訂正が不可能に。
- 1 qubit ゲートのテンソル積 = 論理演算 となっているのが好ましい。

一般化：スタビライザー符号

誤り耐性量子計算が可能な符号を求めて...

- Shor 9 qubit codeで測定していた演算子をもう一度見直す。

ZZIIIIIII
IZZIIIIII
IIIZZIIII
IIIIIZZIII
IIIIIIZZI
IIIIIIIZZ
XXXXXXIII
IIIXXXXXX

- これらの演算子は全部可換。
- 一般に、可換なパウリ演算子が生ずる群をスタビライザー群と呼ぶ。
- $|0\rangle_L$ と $|1\rangle_L$ (エラーのない状態) はこれらの演算子の +1 固有状態。
= スタビライザー群の全ての演算子に対して +1 固有状態となっているのが $|0\rangle_L, |1\rangle_L$ 。
- スタビライザー群の+1固有状態となる状態を**スタビライザー状態**と呼ぶ。
- スタビライザー状態によって作る符号：**スタビライザー符号**

スタビライザー符号

- Shor 9 qubit code で測定していた演算子をもう一度見直す。

ZZIIIIIII
IZZIIIIII
IIIZZIIII
IIIIZZIII
IIIIIIZZI
IIIIIIIZZ
XXXXXXIII
IIIXXXXXX

- $H^{\otimes 9}$ をかけるとスタビライザー群が変わってしまう。
→ $H^{\otimes 9} X_L H^{\otimes 9} = Z_L$ だが、 $H^{\otimes 9}$ は状態を符号空間から出してしまう (論理エラー)。
- なぜ Shor 9 qubit code が 1 qubit エラーを全て訂正できたのか？
 - ✓ スタビライザー演算子が 8 個
→ 「全ての演算子が+1になる」という条件で、2 次元 (1 qubit 分) の部分空間を指定できた。
 - ✓ 全ての qubit が Z 演算子と X 演算子に見張られている。
→ 各量子ビットに X エラーか Z エラーが起きると、シンδροームが反転する。

$XZX = -Z, ZXZ = -X$ なので

Steane 7 qubit code

- 以下のスタビライザーで定義される符号。
ハミング符号から構成される。

$IIIZZZZ$
 $IZZIZIZ$
 $ZIZIZIZ$
 $IIIXXXX$
 $IXXIXIX$
 $XIXIXIX$

- 任意の 1 qubit エラーを訂正可能。かつ、
 - ✓ $X_L = X^{\otimes 7}$
 - ✓ $Z_L = Z^{\otimes 7}$
 - ✓ $H_L = H^{\otimes 7} \rightarrow$ transversal アダマールゲートが可能！
 - ✓ $\text{CNOT}_L = \text{CNOT}^{\otimes 7} \rightarrow$ transversal CNOT ゲートが可能！

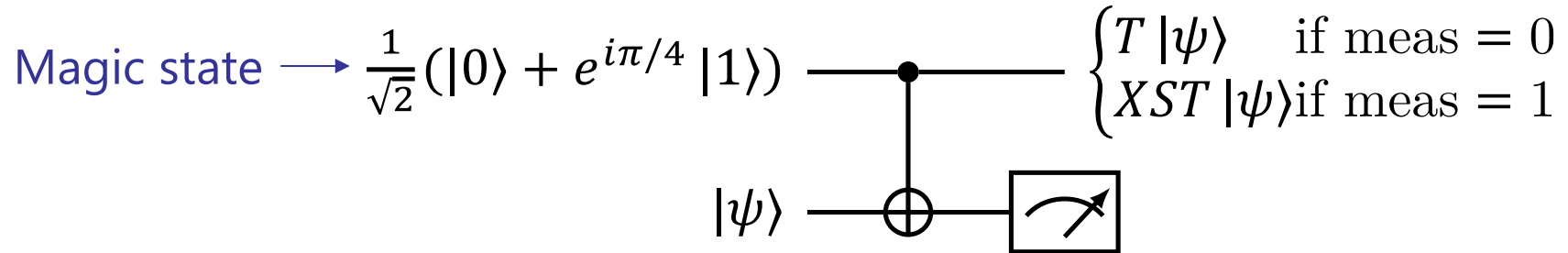
演習： $H^{\otimes 7}$ がスタビライザーを変化させないことを示してください。

任意の 1 qubit 論理ゲートを使うには

- スタビライザー符号は、パウリ演算子の固有状態として定義される。
- パウリ演算子をパウリ演算子に移すゲート (クリフォードゲート) なら、スタビライザーを変化させずに作用させられる。
- しかし例えば $R_z(\theta)$ は非クリフォードで
$$R_z(\theta)XR_z^\dagger(\theta) = \cos \theta X + \sin \theta Y$$
と変換してしまう。
- $R_{z,L}(\theta)$ を作るには、 $X_L = X^{\otimes 7}$ を無理やり $\cos \theta X_L + \sin \theta Y_L$ に変換するしか無いのでは... ?
でもこれには大量の 2 qubit ゲートが必要... 誤り耐性が失われてしまう...

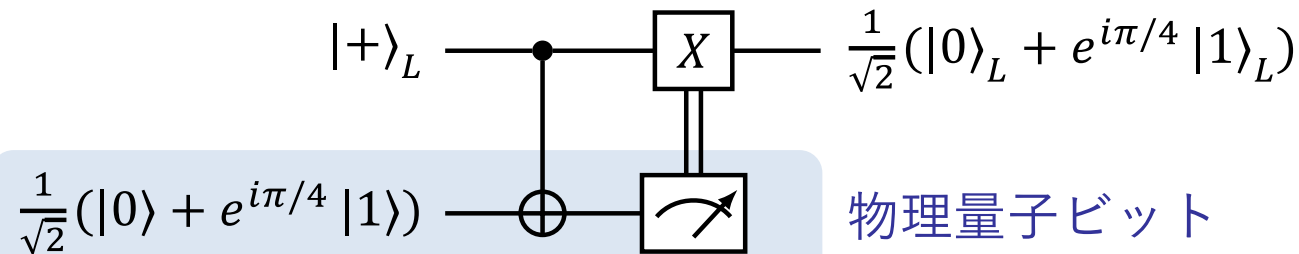
テレポーテーションによる T ゲート

➤ ゲートテレポーテーション



誤り訂正符号化した量子ビットで行えば、 T ゲート (非クリフォード) を作用させられる。

- でもそもそも $\frac{1}{\sqrt{2}}(|0\rangle + e^{i\pi/4}|1\rangle)$ が作れないのでは？
→ 論理量子ビットと物理量子ビット間の量子テレポーテーションを使う。

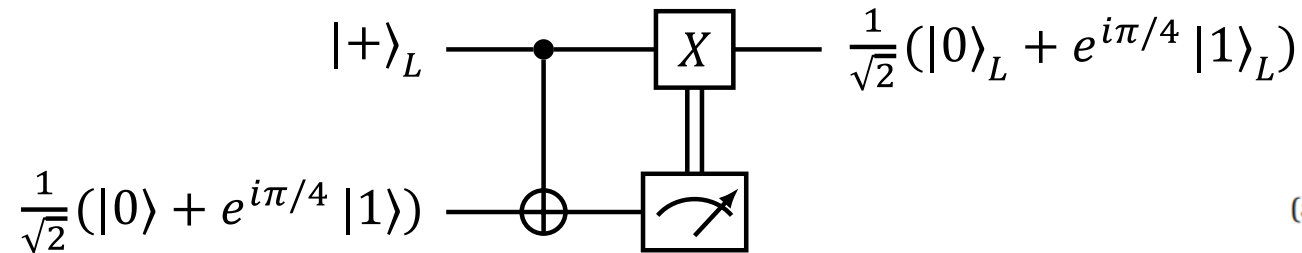


(Solovay-Kitaev のアルゴリズム)

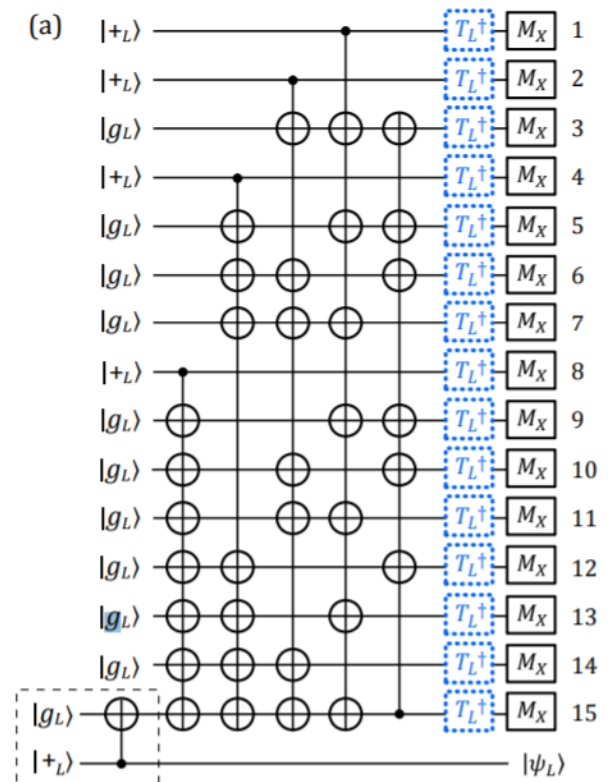
- T と H で任意の 1 qubit ゲートが構成できることが知られている。

Magic state distillation

- テレポーテーションによって送られてくる論理 magic state はノイズを含む。



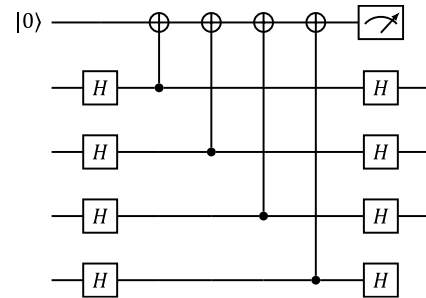
- クリフォード演算のみを使って、ノイズを含む magic state をきれいな magic state に“蒸留” (distill) できることが知られている。
- 右は 15 個の noisy T ゲートをきれいな magic state に蒸留する回路の例。



arXiv:1208.0928

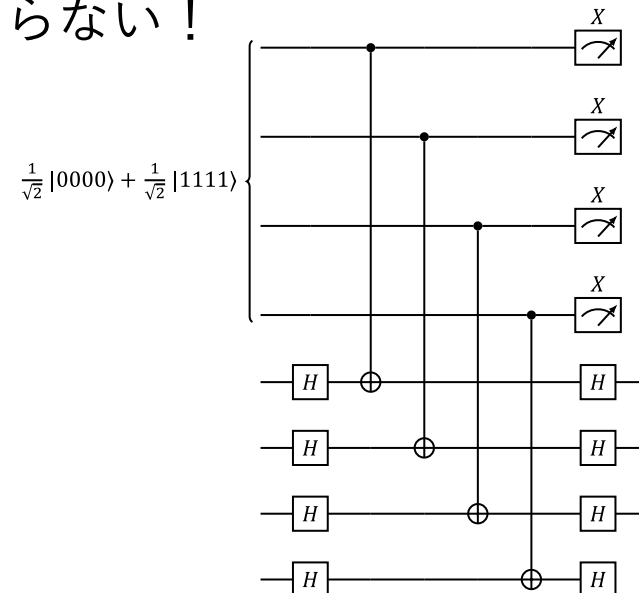
スタビライザー測定誤り耐性

- Steane code のスタビライザー測定回路：



このままではエラーが拡散してしまう。

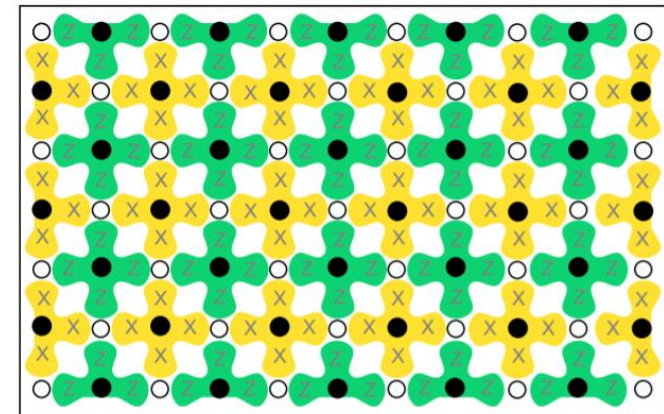
- 改良案：エラー拡散が起こらない！



誤り訂正まとめ

- 量子状態を冗長化することで、誤り耐性をもたせることができる。
- シンドローム測定によって、連続的エラーも離散的に訂正可能になる。
- 誤り耐性量子計算には、すべての物理ゲートで発生しうるエラーが訂正できるような符号を使う必要がある。
- T ゲートが transversal に使えないスタビライザー符号では、magic state distillation とゲートテレポーテーションによってきれいな T ゲートを作る必要がある。
- **誤り耐性量子計算は可能。**
エラーがある程度局所的であるという仮定のもとで。

最も実現しそうな誤り訂正符号は**表面符号** →
今回は説明しませんでした...



arXiv: 1208.0928